

Représentations compactes de structures de données géométriques

Soutenance de thèse, 12 décembre 2006, LIX

Luca Castelli Aleardi



Geometrica - INRIA Sophia



LIX École Polytechnique

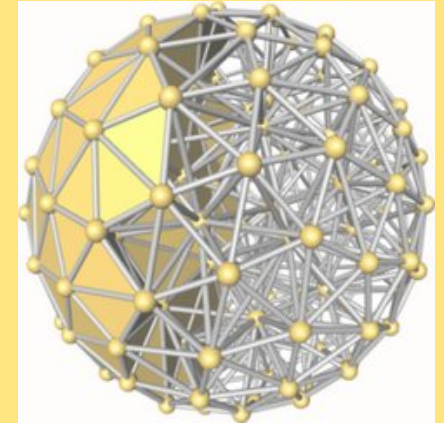
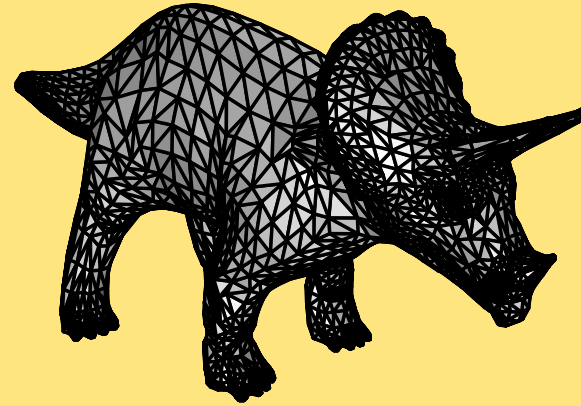
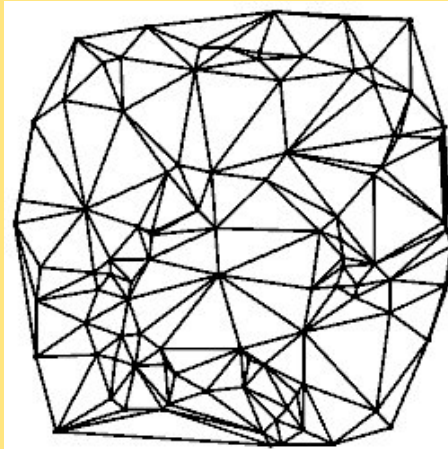
Le domaine de recherche

Données structurées de nature géométrique

Triangulations et graphes

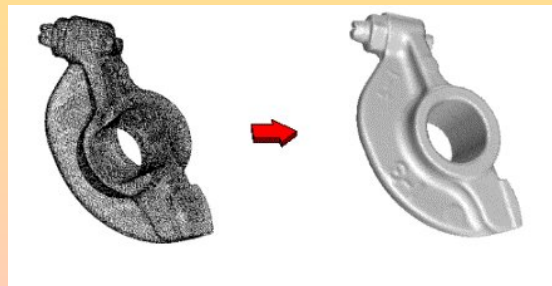
maillages surfaciques

maillages volumiques

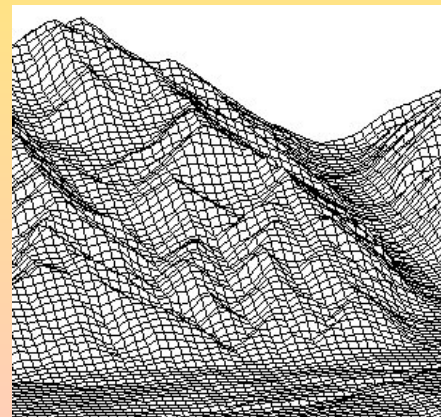


Domaines d'application

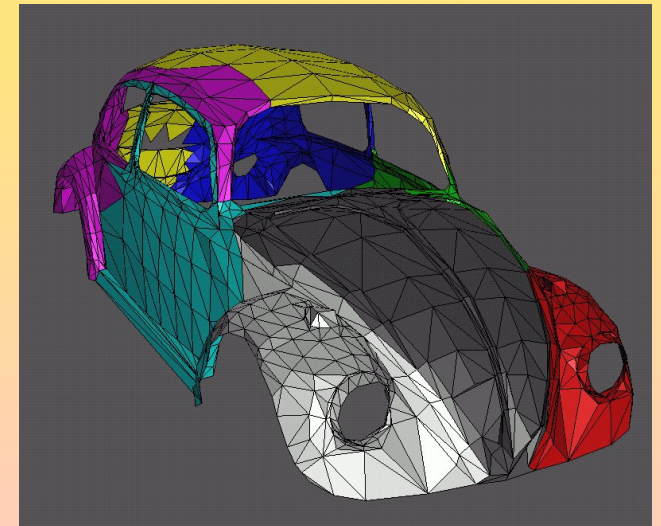
Reconstruction
de surfaces



GIS Technology

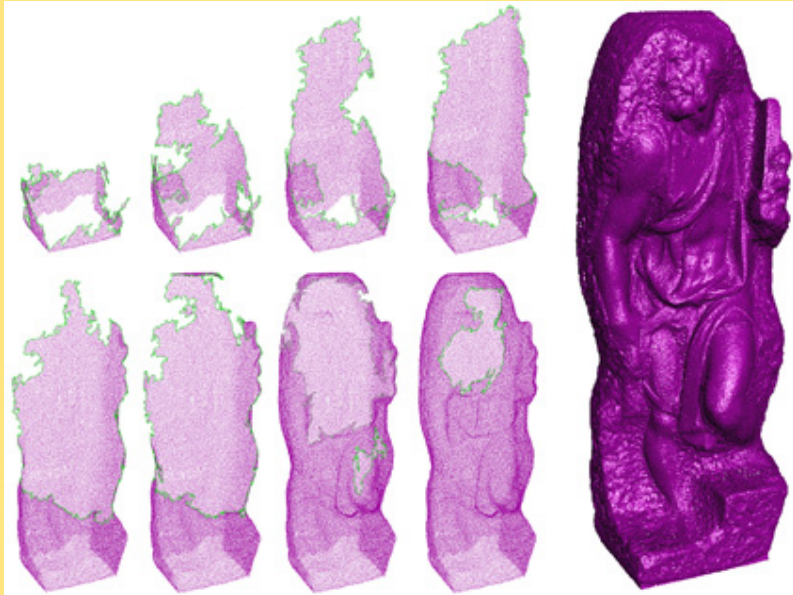


Modélisation géométrique



Masses de données

L'explosion de la taille des données pose des pbs de traitement



Statue de St. Matthieu (Stanford's Digital Michelangelo Project, 2000)

186 million de sommets

6 Giga octets (stockage sur disque)

dizaines de minutes (temps pour la lecture de disque dur)



Statue du David (Stanford's Digital Michelangelo Project, 2000)

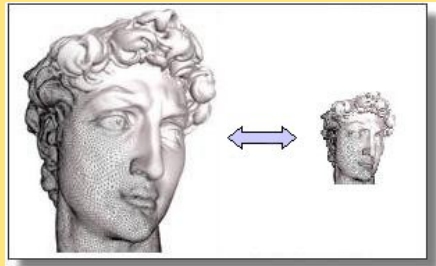
2 milliards de polygones

32 Giga octets (sans compression)

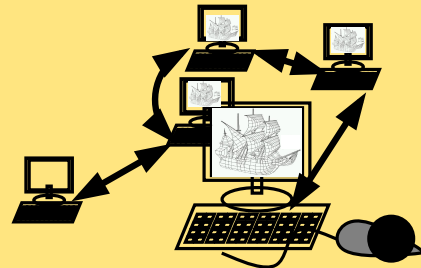
Pas d'algorithme et structure de données pouvant traiter le modèle tout entier

Thèmes de recherche

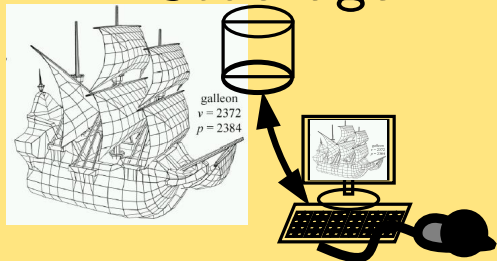
Compression de maillages



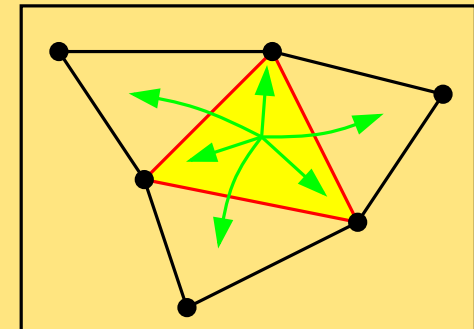
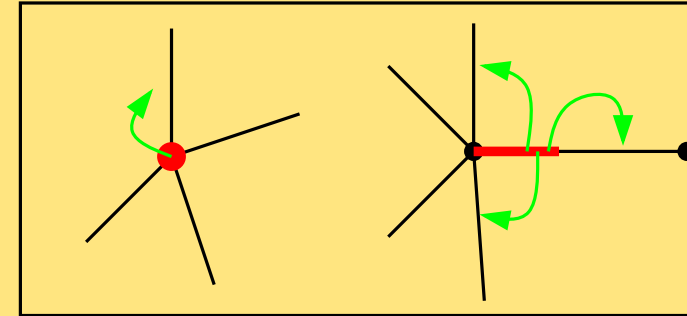
Transmission sur réseau



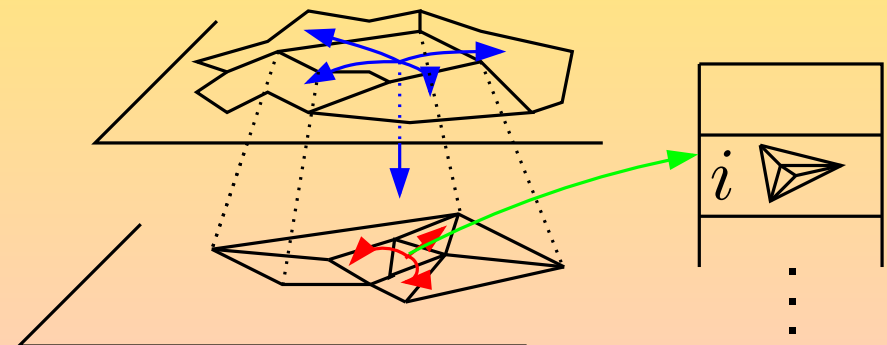
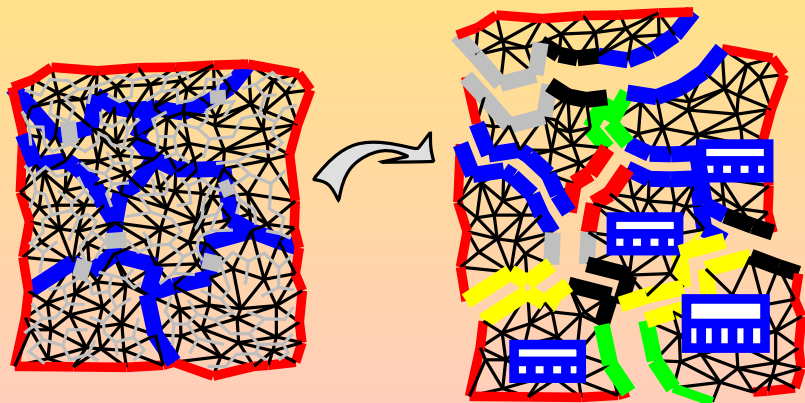
Stockage



Structures de données géométriques



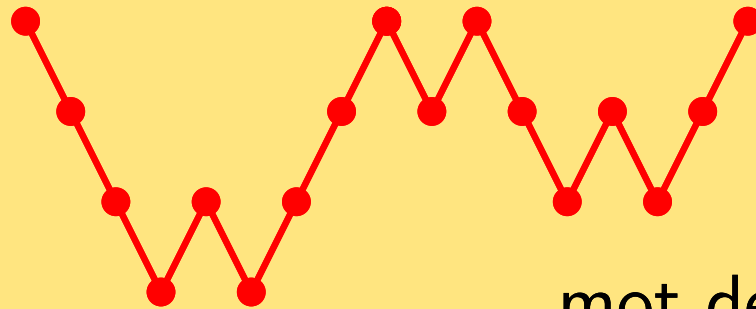
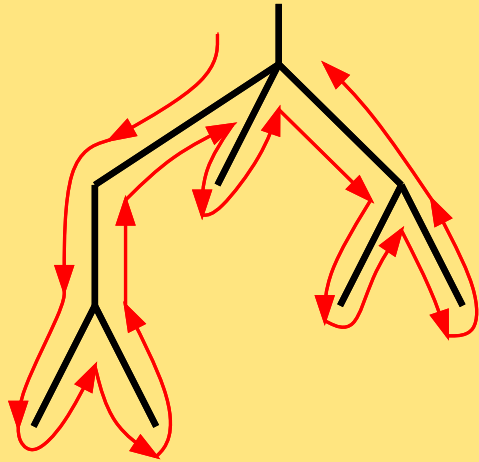
Représentations compactes d'objets géométriques



Représentations compactes

Un exemple: arbres binaires et ordonnés

arbre ordonné à n arêtes



mot de parenthèses équilibré

1110100010110100

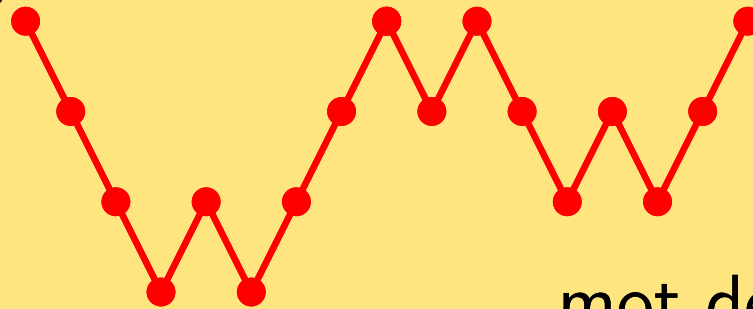
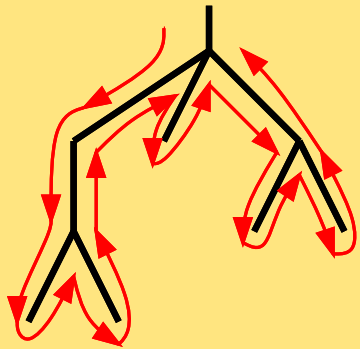
$\Rightarrow 2n$ bits pour coder un arbre avec n arêtes.

Énumération des arbres plans avec n arêtes.

$$\|\mathcal{B}_n\| = \frac{1}{n+1} \binom{2n}{n} \approx 2^{2n} n^{-\frac{3}{2}}$$

Un exemple: arbres binaires et ordonnés

arbre ordonné à n arêtes



mot de parenthèses équilibré

1110100010110100

$\Rightarrow 2n$ bits pour coder un arbre avec n arêtes.

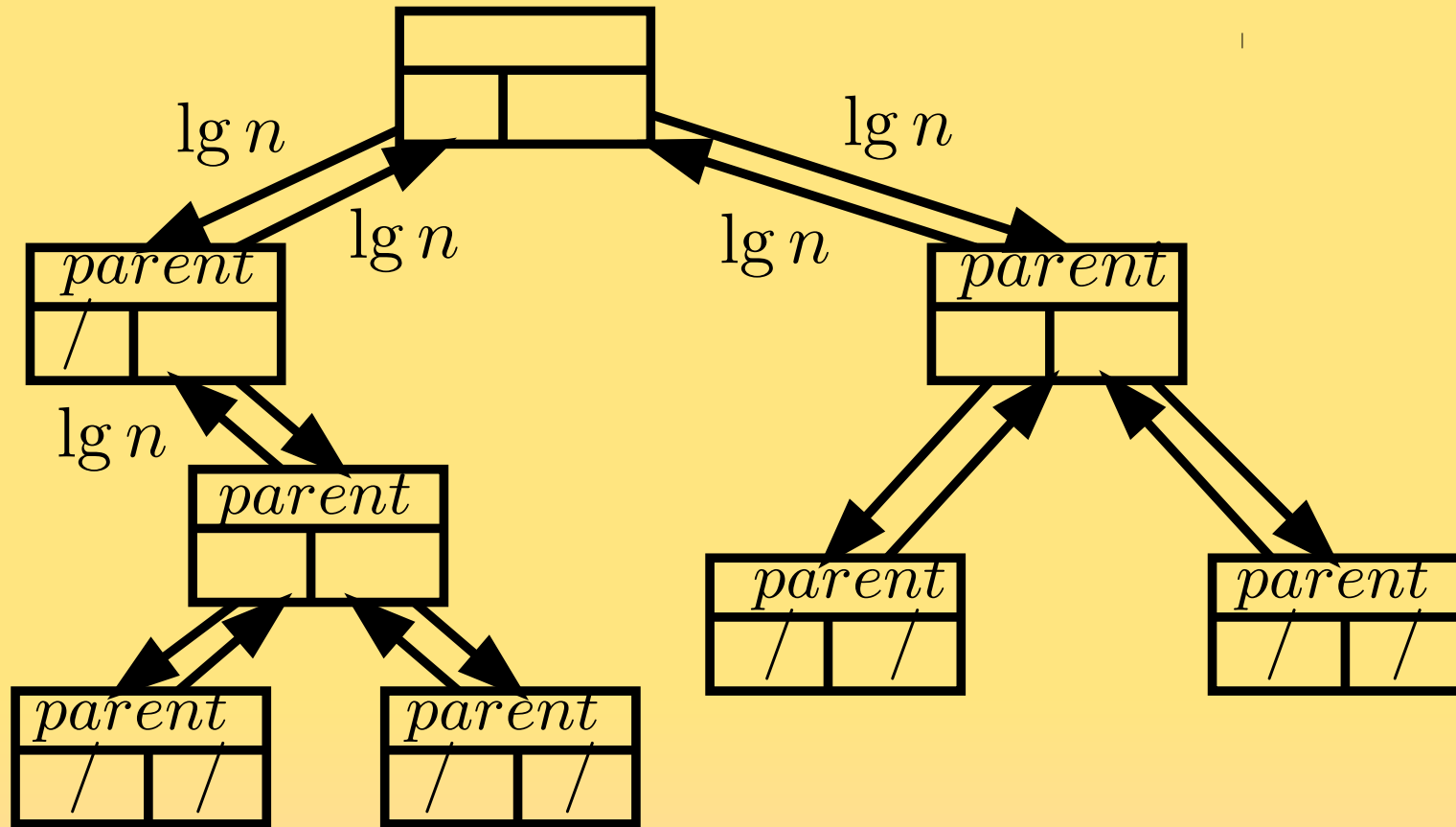
Ce codage est "asymptotiquement optimal".

- le coût mémoire d'un objet correspond asymptotiquement à l'entropie de la classe;

$$\log_2 \|\mathcal{B}_n\| = 2n + O(\lg n)$$

Un exemple: arbres binaires et ordonnés

Représentation explicite par pointeurs



il est possible de tester en temps $O(1)$ l'adjacence entre sommets

ce codage n'est pas optimal: il faut $\Theta(n \lg n)$ bits

Peut-on faire mieux?

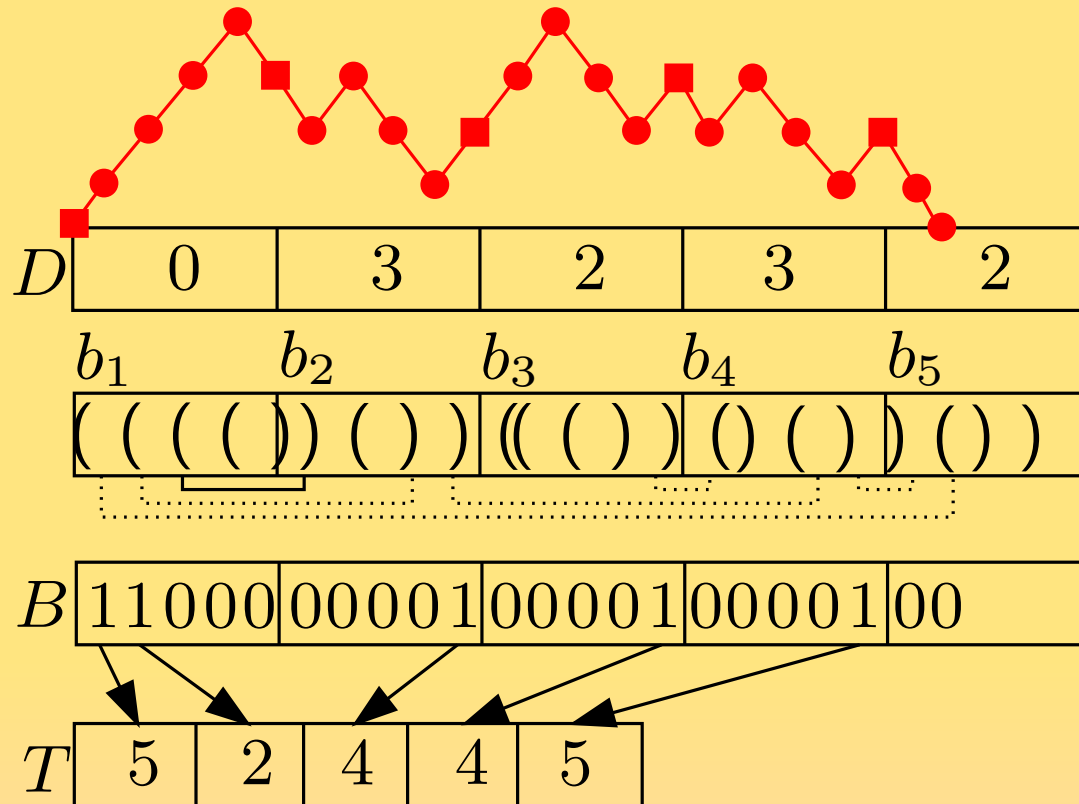
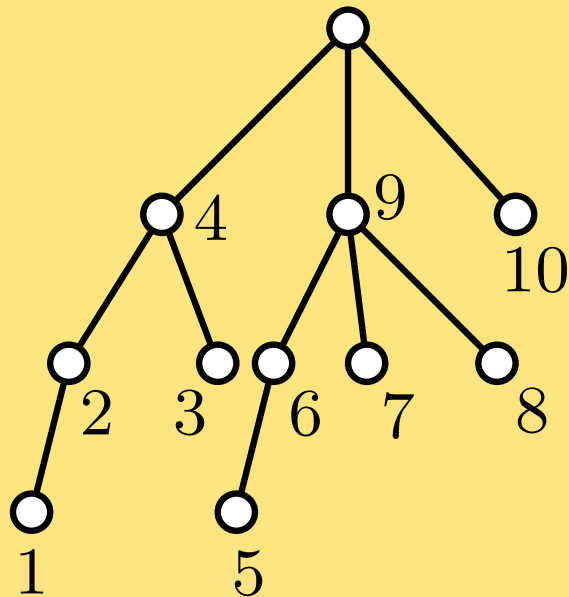
un codage compact (asymptotiquement optimal)

requêtes efficaces (en temps constant)

Un exemple: arbres binaires et ordonnés

(Jacobson, Focs89, Munro et Raman Focs97)

Pour le arbres et les mots de parenthèses... OUI

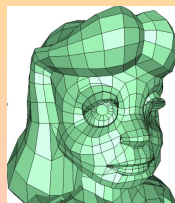
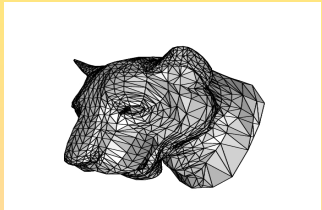


il est possible de tester en temps $O(1)$ l'adjacence entre sommets
ce codage est asymptotiquement optimal

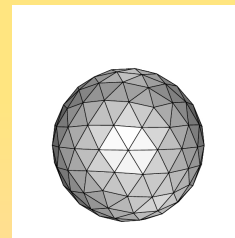
$2n + o(n)$ bits suffisent

Données géométriques

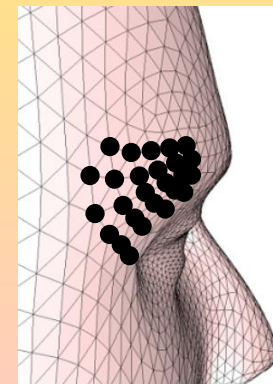
Triangulations à bord



cartes planaires 3-connexes
(maillages polygonaux)



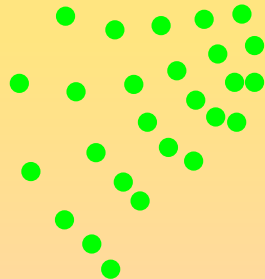
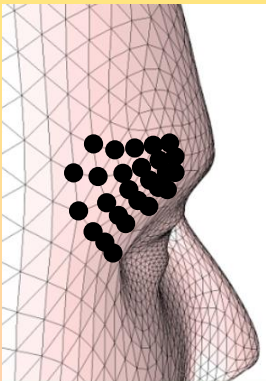
Triangulations de la sphère



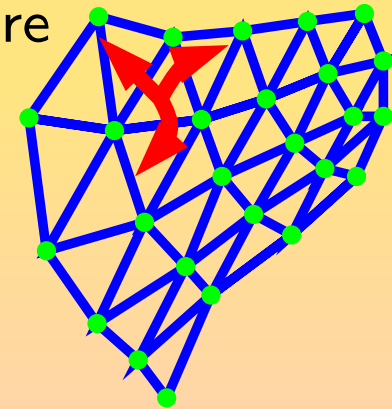
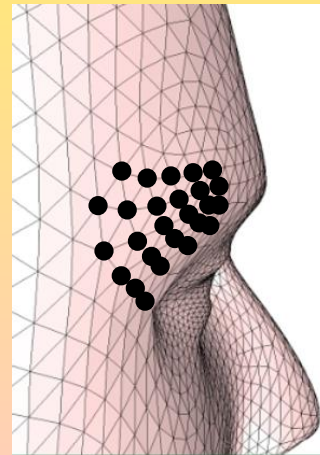
Quel type d'information?

Géométrie et connectivité

Objet géométrique



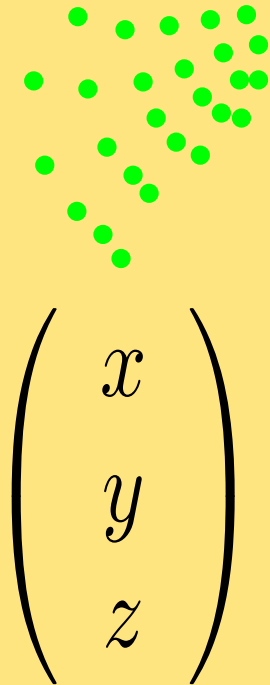
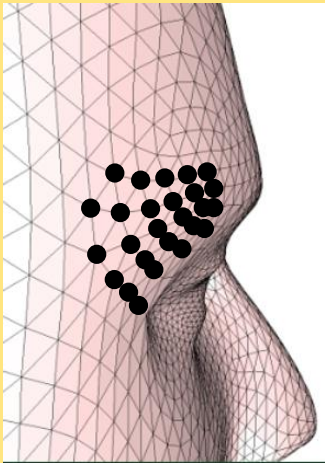
Objet combinatoire



Geometric information

Information géométrique

Objet géométrique

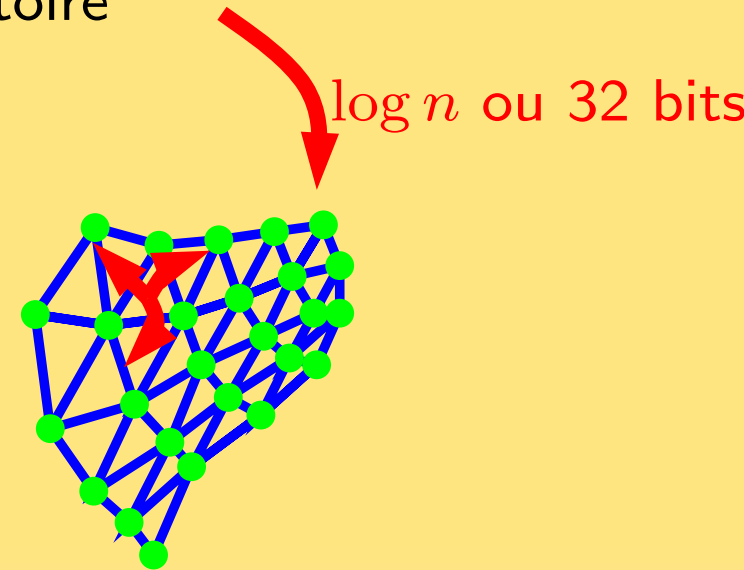
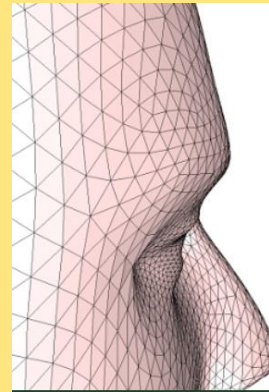


entre 30 et 96 bits par sommet

Information de connectivité

sommets 1 référence à un triangle
 triangles 3 références aux sommets
 3 références aux triangles

Objet combinatoire



$$2 \times n \times 6 \times \log n$$

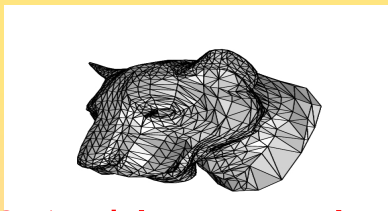
$$n \times 1 \times \log n$$

$$13n \log n$$

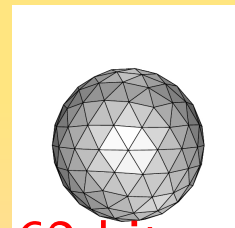
416n bits
 Connectivité

Les limites entropiques sont connues...

Triangulations à bord



2.17 bits par triangle



Triangulations de la sphère

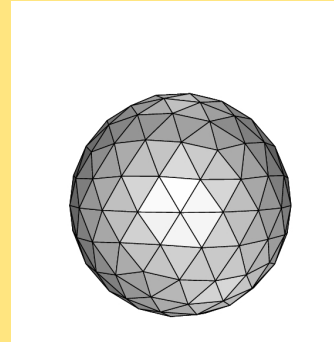
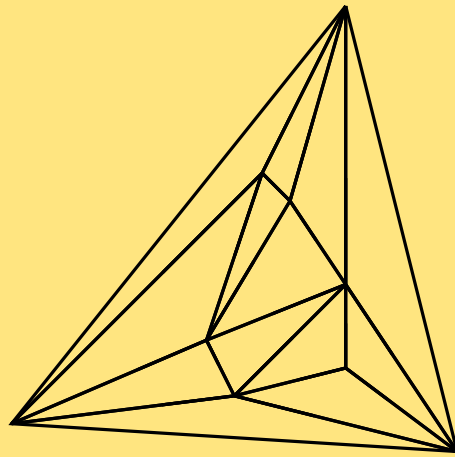
1.62 bits par triangle



cartes planaires 3-connexes
(maillages polygonaux)

2 bits par arête

Énumération et entropie des cartes



Énumération des triangulations de la sphère (Tutte, 1962)

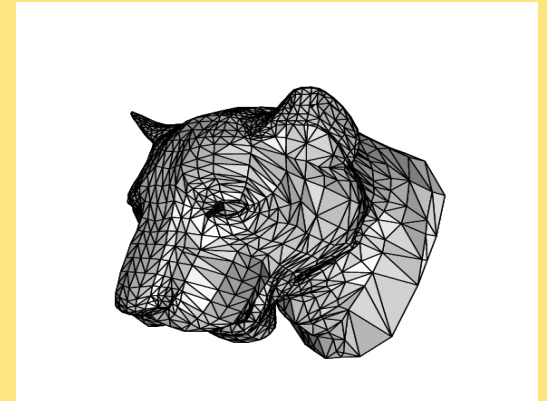
$$\Psi_n = \frac{2(4n + 1)!}{(3n + 2)!(n + 1)!} \approx \frac{16}{27} \sqrt{\frac{3}{2\pi}} n^{-5/2} \left(\frac{256}{27}\right)^n$$

Entropie

$$\frac{1}{n} \log_2 \Psi_n \approx \log_2\left(\frac{256}{27}\right) \approx 3.2451 \text{ bits/vertex}$$

Énumération et entropie des cartes

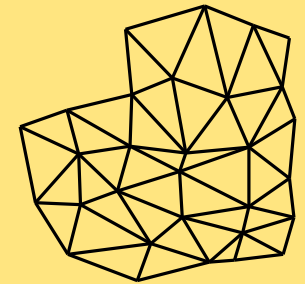
Triangulations à bord



$n + 1$ sommets internes, $m = 2n + k$ faces

$$f(n, k) = \frac{2 \cdot (2k - 3)! (2k + 4n - 1)!}{(k - 1)! (k - 3)! (n + 1)! (2k + 3n)!}$$

$$f'(m, k) = \frac{2 \cdot (2k - 3)! (2m - 1)!}{(k - 1)! (k - 3)! \left(\frac{m-k}{2} + 1\right)!}$$



énumération des triangulations d'un polygone ayant m faces

$$F(m) = \lg\left(\sum_{k \geq 3}^m f'(m, k)\right) \approx 2.175m$$

3.24 bits/sommets = 1.62 bits/face < 2.17 bits/face

Compression de maillages

Données géométriques

simple compression

VRML, 288 or 114 bits/vertex

[Edgebreaker] 3.67bits/vertex (borne sup. garantie)

[Poulalhon Schaeffer] 3.24bits/vertex (garantie optimale)

[Touma Gotsman] \approx 2bits/vertex (heuristique)

PS 11010001100000100100000110010000000000

TG $V_5 V_5 V_6 V_5 V_4 V_5 V_8 V_5 V_5 V_4 S_4 V_3 V_4$

EB *CCRCRCRCRECRRELCRE*

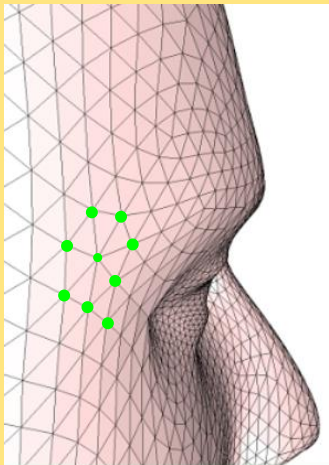
codages implicites

Structures de données géométriques

Structures de données géométriques

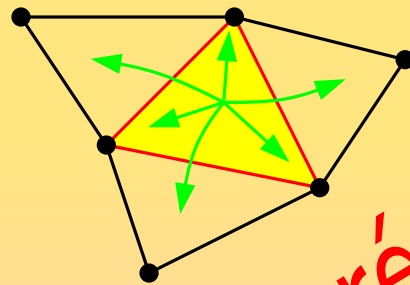
Représentations explicites

Maillage triangulaire



Combinatoire

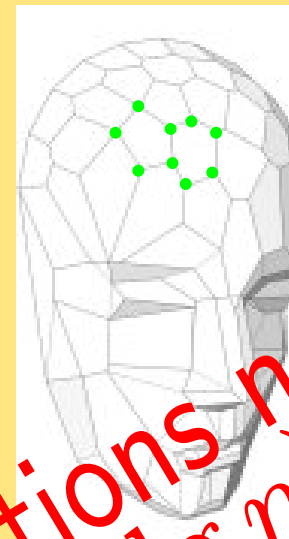
```
struct triangle{
    triangle *t1, *t2, *t3;
    vertex *v1, *v2, *v3;
}
struct vertex{
    triangle * root;
    int label;
}
```



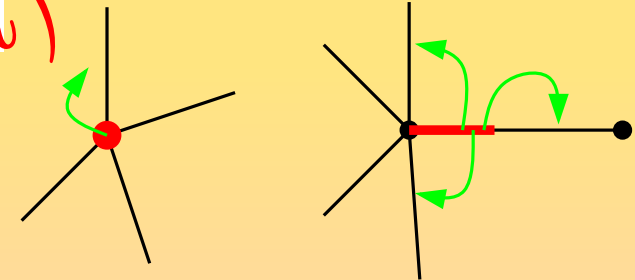
Géométrie

```
struct point{
    float x;
    float y;
}
point vertex_geometry[max_label];
```

Maillage polygonal



```
struct edge{
    edge * oppo;
    edge * next;
    edge * prev;
    vertex * origin;
}
struct vertex{
    edge * root;
    int label;
}
```



représentations non compactes
 $\Theta(n \lg n)$ bits

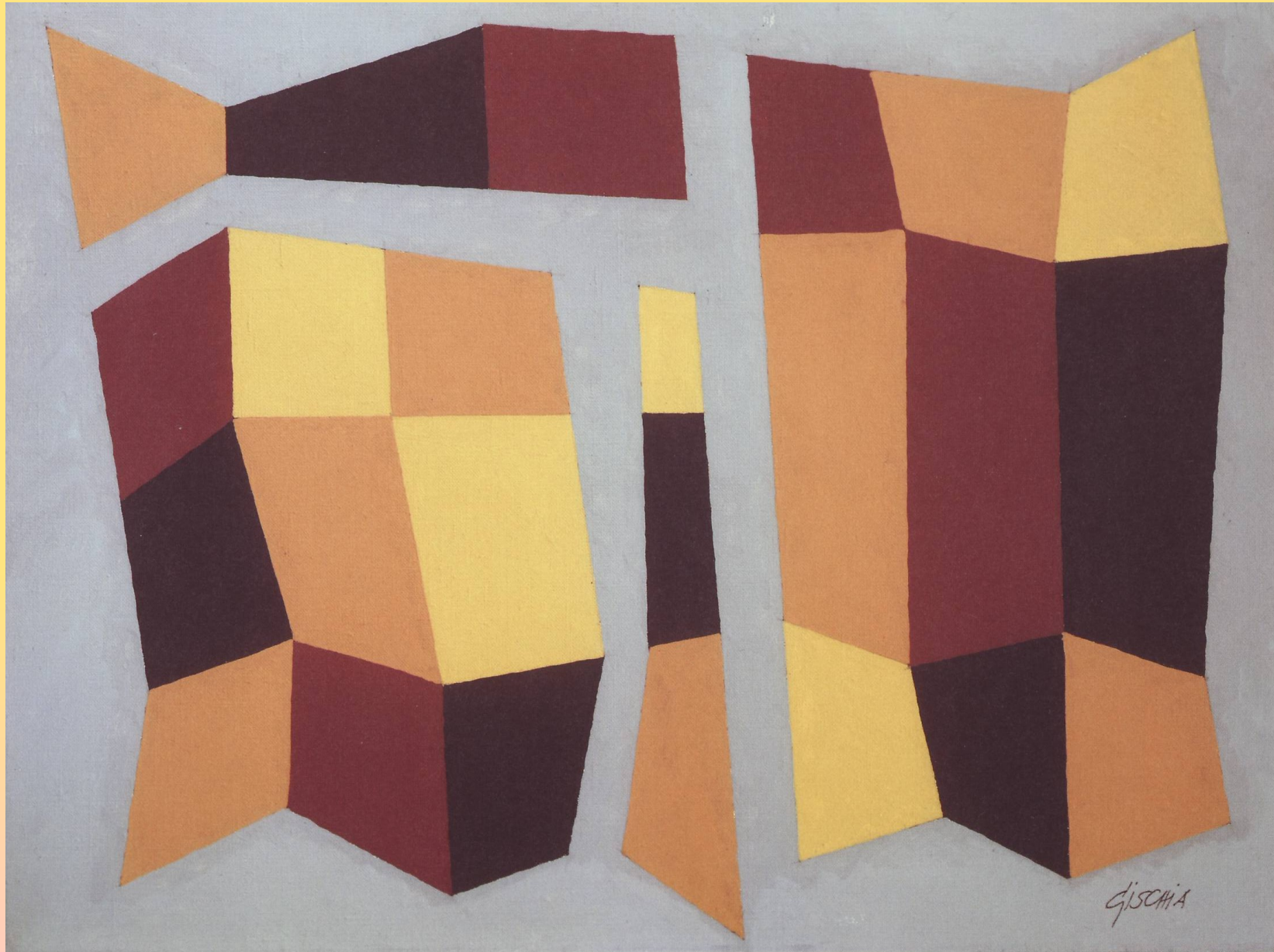
```
struct point{
    float x;
    float y;
}
point vertex_geometry[max_label];
```

Représentations compactes de graphes: travaux existants

Notre schéma algorithmique pour la
représentation de cartes et maillages

Premier ingrédient: décomposition

Décomposition de quadrangulations... vue par L. Gischia



Deuxième ingrédient: pretraitement et stockage

Arithmétisons donc un peu (La leçon, Eugène Ionesco, 1951)

Au cours d'une leçon privée en préparation du doctorat total, une jeune fille discute d'arithmétique avec son professeur.

le professeur Ecoutez-moi, Mademoiselle, si vous n'arrivez pas à comprendre profondément ces principes, ces archétypes arithmétiques, vous n'arriverez jamais à faire correctement un travail de polytechnicien... Encore moins ne pourra-t-on vous charger d'un cours à l'Ecole polytechnique... combien font, par exemple, $3.755.918.261$ multiplié par $5.162.303.508$?

l'élève (très vite) ca fait $193891900145...$

le professeur (de plus en plus étonné calcule mentalement) Oui... Vous avez raison... le produit est bien... (il bredouille inintelligiblement)... Mais comment le savez-vous, si vous ne connaissez pas les principes du raisonnement arithmétique?

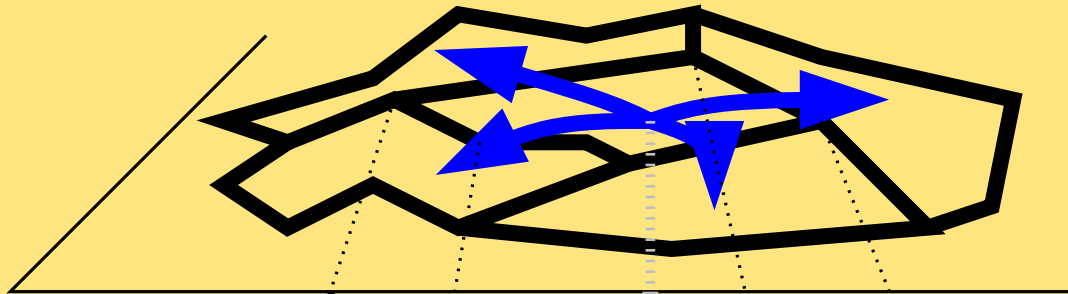
l'élève: C'est simple. Ne pouvant me fier à mon raisonnement, j'ai appris par coeur tous les résultats possibles de toutes les multiplications possibles.

Notre schéma de représentation

Aperçu de la structure hiérarchique

Niveau 1:

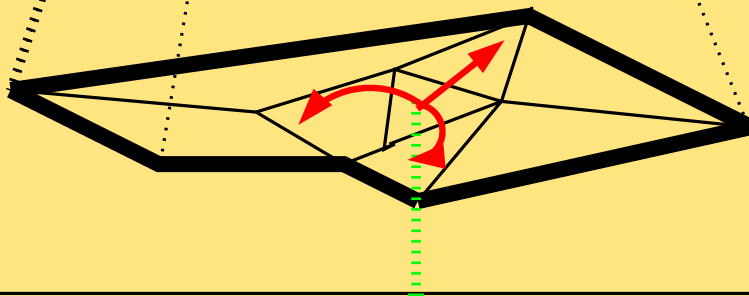
- $\Theta\left(\frac{n}{\log^2 n}\right)$ régions de taille $\Theta(\log^2 n)$, représentés par pointeurs au niveau 2



Niveau 2:

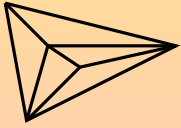
dans chacune des $\frac{n}{\log^2 n}$ régions:

- $\Theta(\log n)$ régions de taille $C \log n$, représentées par pointeurs au niveau 3



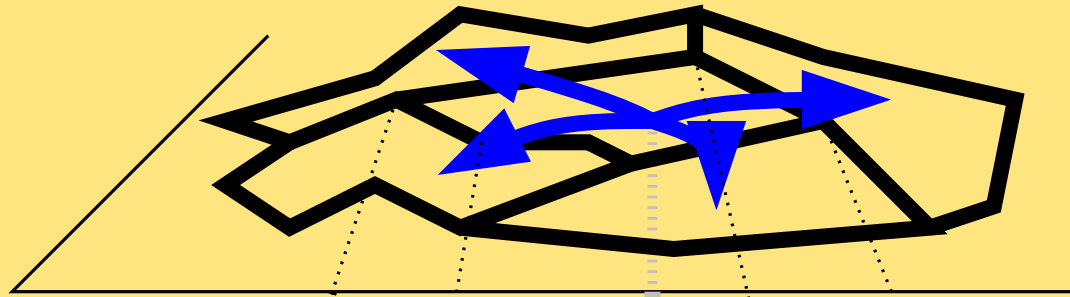
Niveau 3: catalogue exhaustif des régions de taille $i < C \log n$:

- description explicite complète.

1	...
2	...
3	
	⋮

Notre schéma de représentation

Aperçu de la structure hiérarchique



Niveau 1:

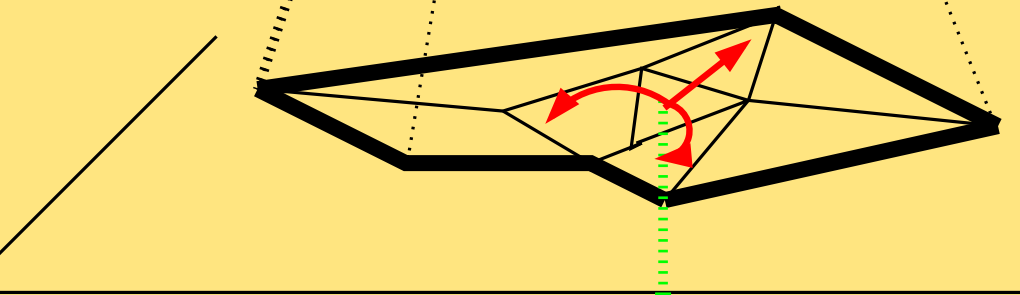
- $\Theta\left(\frac{n}{\log^2 n}\right)$ régions de taille $\Theta(\log^2 n)$, représentés par pointeurs au niveau 2
- pointeurs globaux de taille $\log n$.



Niveau 2:

dans chacune des $\frac{n}{\log^2 n}$ régions:

- $\Theta(\log n)$ régions de taille $C \log n$, représentés par pointeur au niveau 3
- pointeurs locaux de taille $\log \log n$.



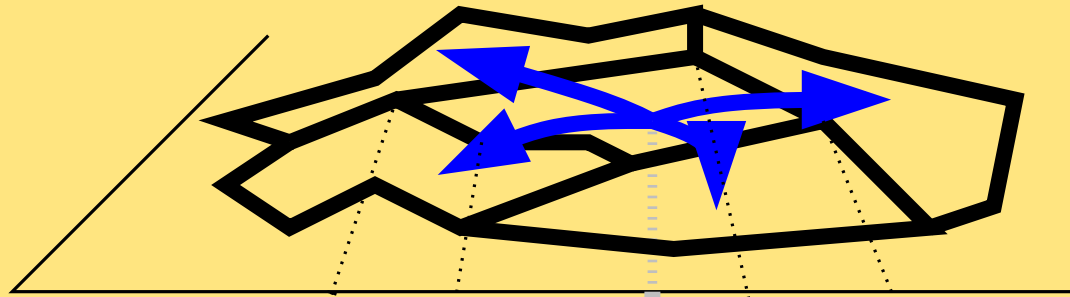
1	...
2	...
3	
	⋮

Niveau 3: catalogue exhaustif des regions de taille $i < C \log n$:

- description explicite complète.

Notre schéma de représentation

Aperçu de la structure hiérarchique



Niveau 1:

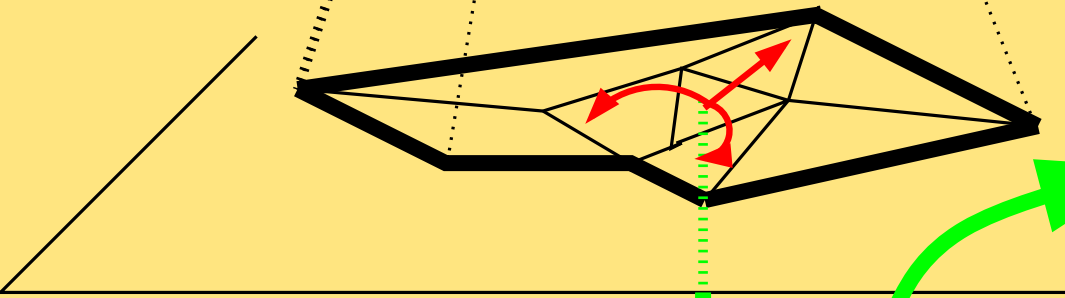
- $\Theta\left(\frac{n}{\log^2 n}\right)$ régions de taille $\Theta(\log^2 n)$, représentés par pointeurs au niveau 2
- pointeurs globaux de taille $\log n$.



Niveau 2:

dans chacune des $\frac{n}{\log^2 n}$ régions:

- $\Theta(\log n)$ régions de taille $C \log n$, représentés par pointeur au niveau 3
- pointeurs locaux de taille $\log \log n$.



1	...
2	...
3	
	⋮

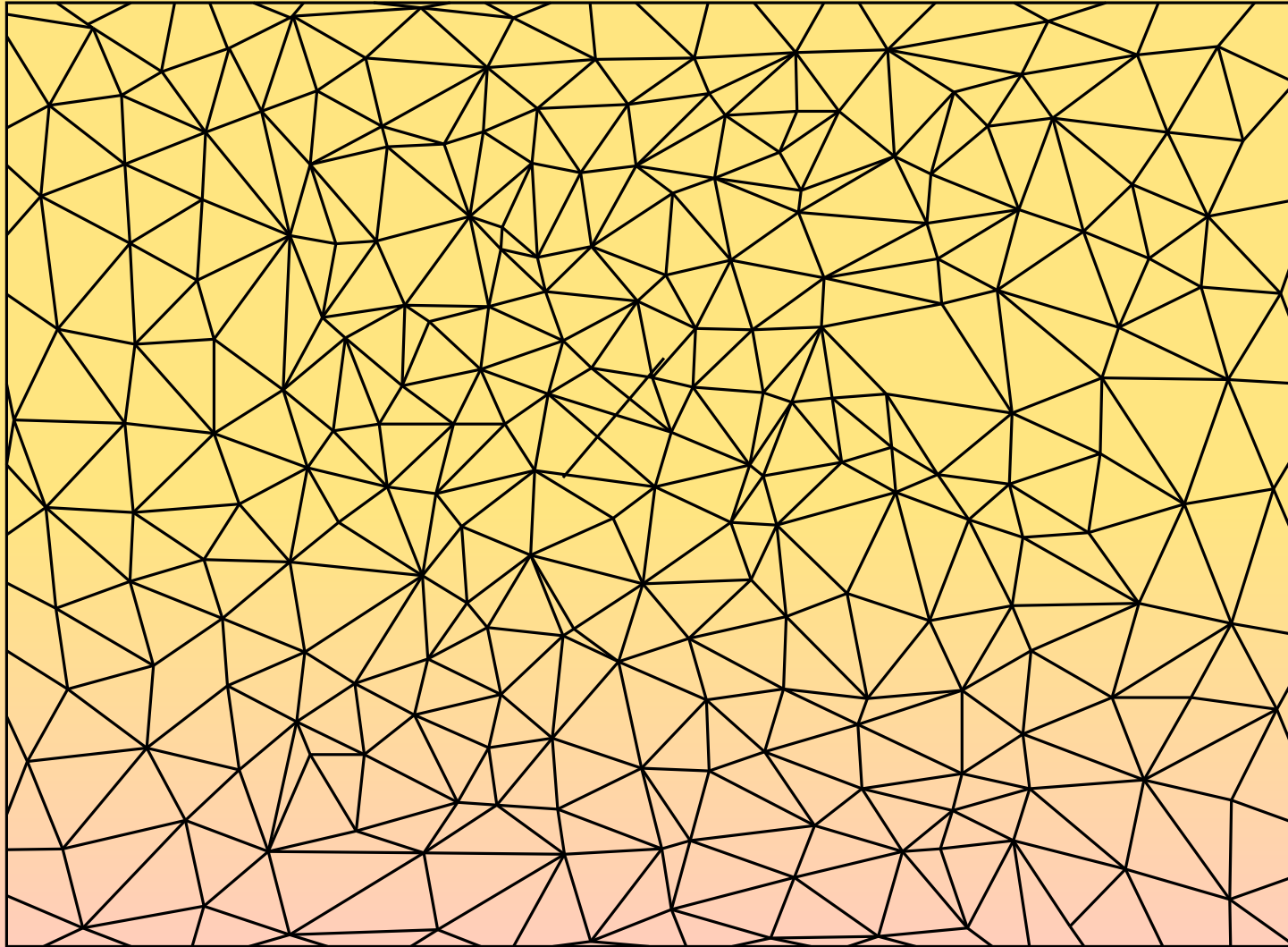
Coût dominant en espace

Niveau 3: catalogue exhaustif des regions de taille $i < C \log n$:

- description explicite complète.

Représentations compactes de maillages

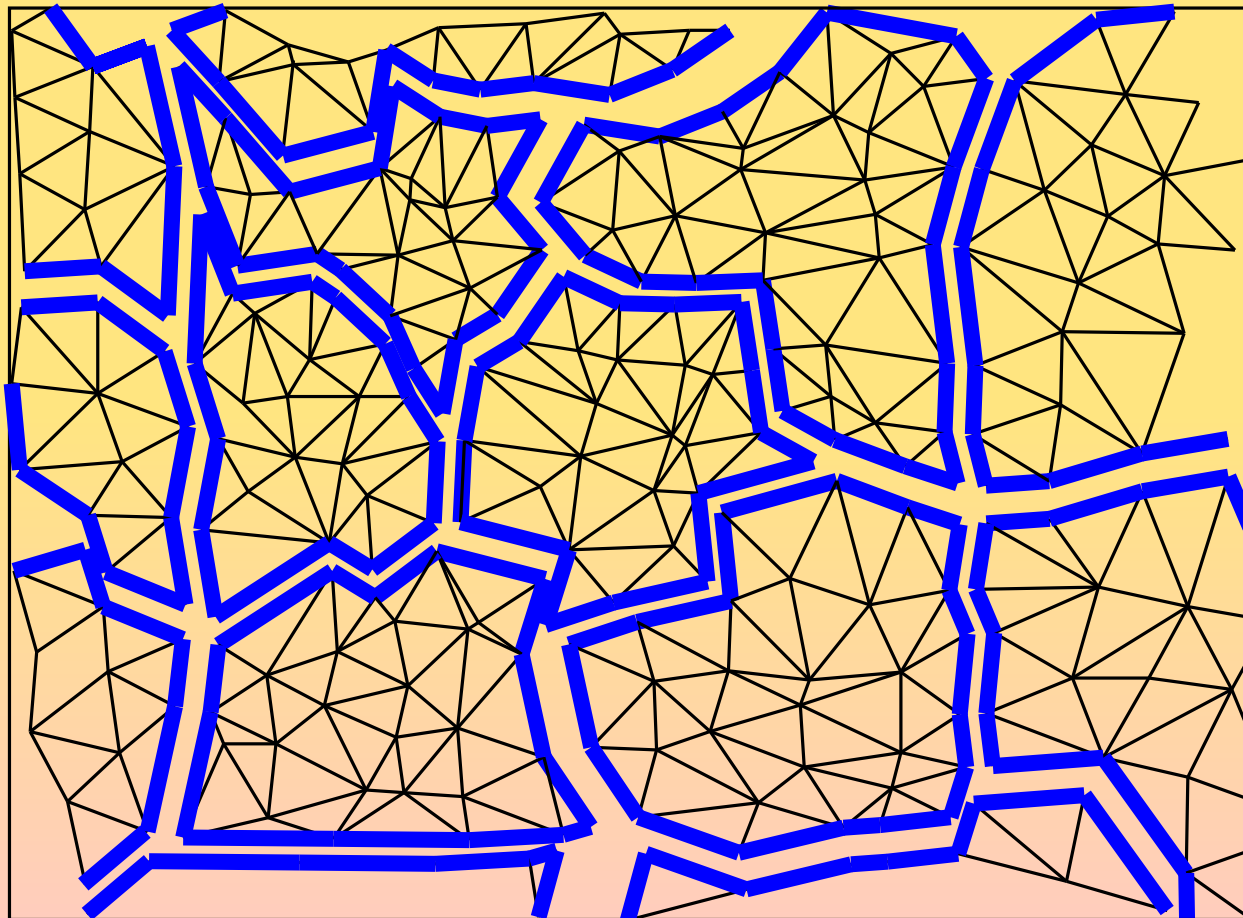
On part d'une triangulation de taille m (nombre de faces)



Représentations compactes de maillages

On décompose en sous triangulations de taille polylog

micro triangulations de taille entre $\frac{1}{12} \lg m$ et $\frac{1}{4} \lg m$

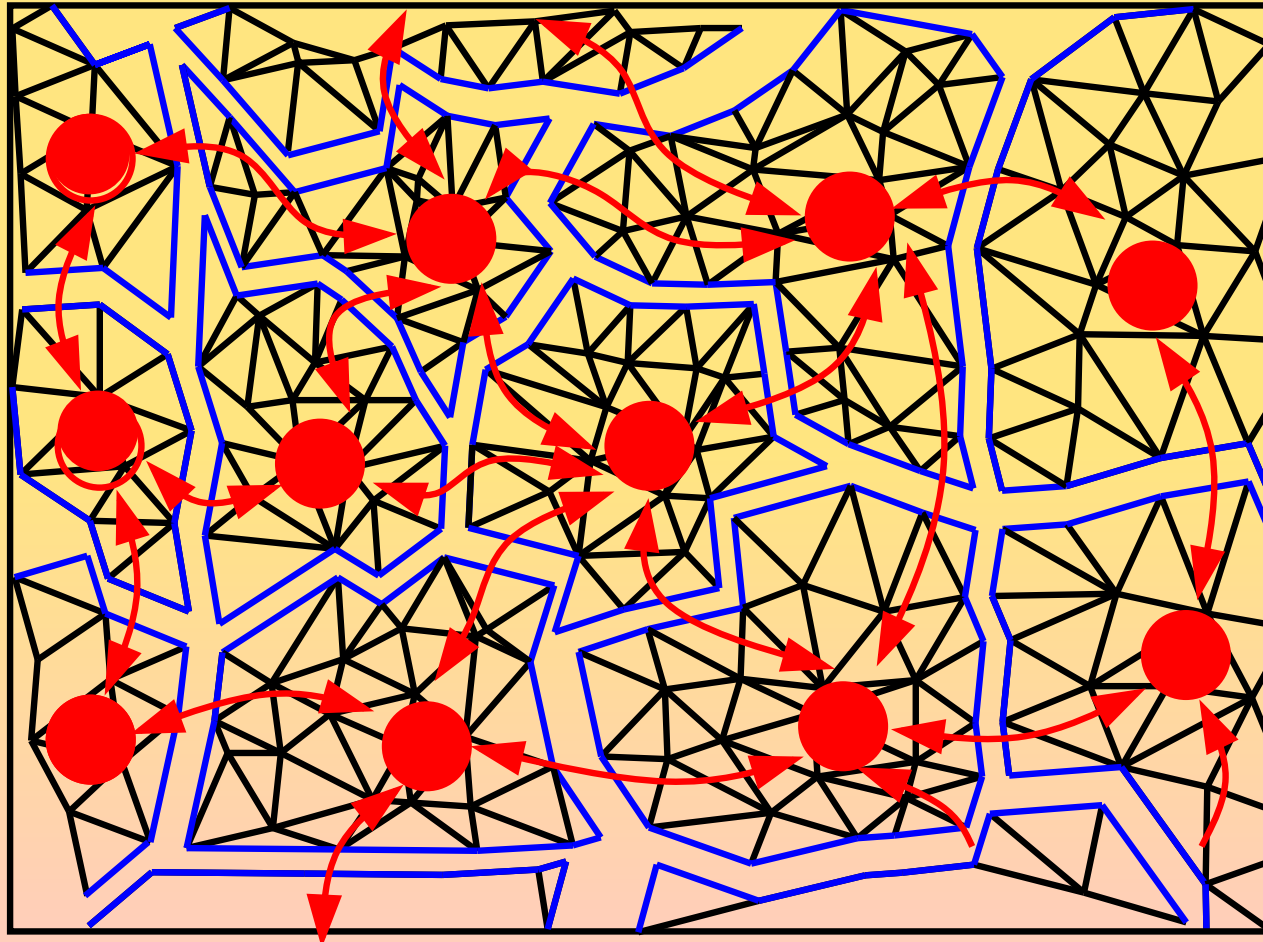


Graphes des micro triangulations

graphe G :

- un nœud pour chaque micro région,
- un arc pour tout paire de micro régions adjacentes

G est une carte localement plane



graphe G

$O\left(\frac{m}{\log m}\right)$ noeuds

Sous-graphe des micro régions dans une mini

G_i est une sous-carte de G contenant $O(\lg m)$ micro triangulations adjacentes



$O(\log^2 m)$ triangles

graphe G_i

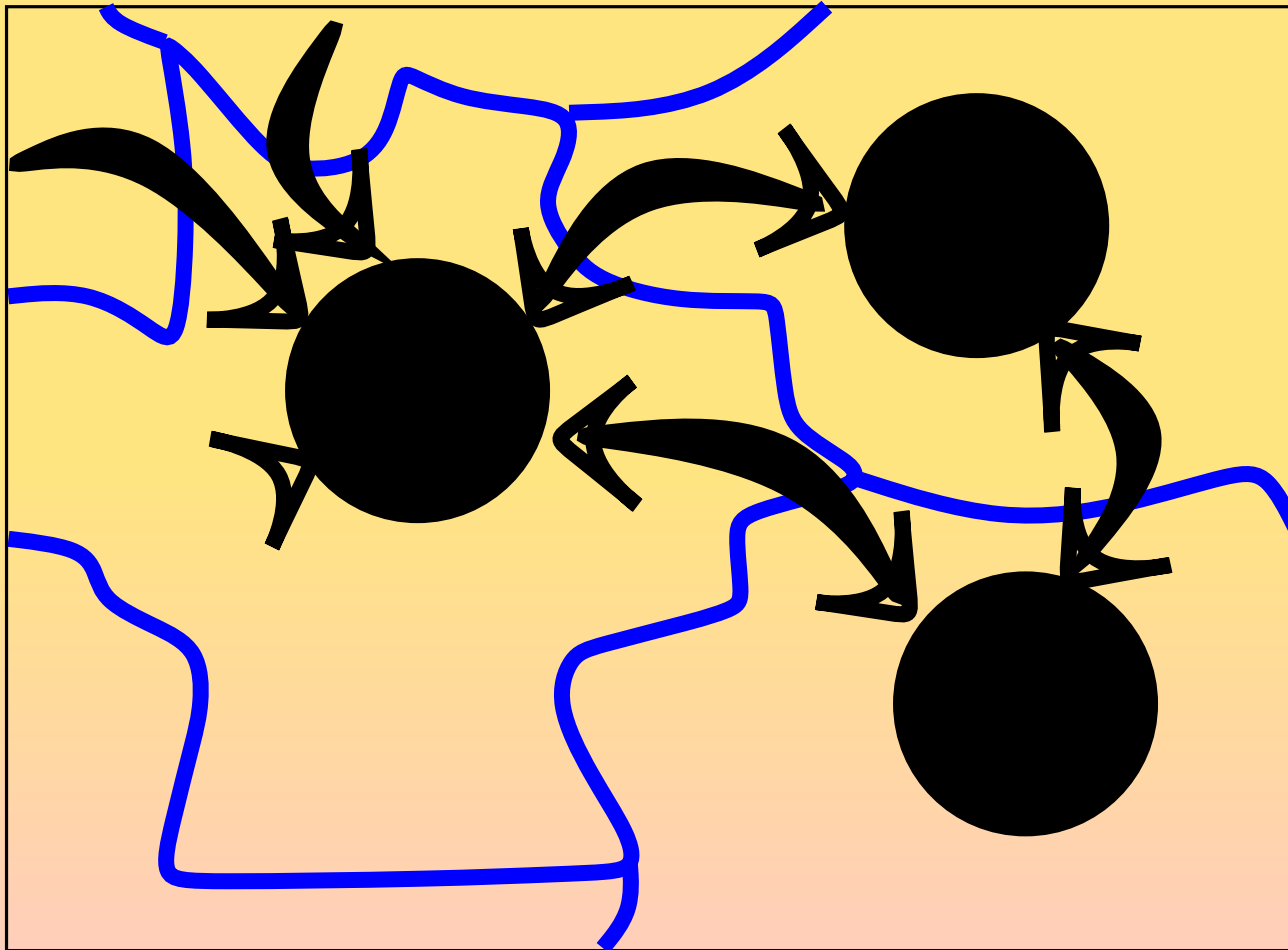
$O(\log m)$ noeuds

Graphes des mini triangulations

graphe F :

- un nœud pour chaque mini région,
- un arc pour tout paire de mini régions adjacentes

F est une carte plane



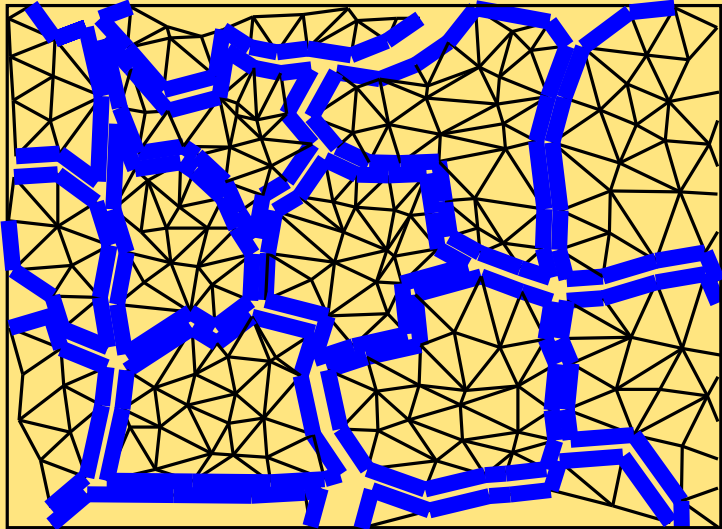
graphe F

$O\left(\frac{m}{\log^2 m}\right)$ noeuds

Coût asymptotique de la représentation

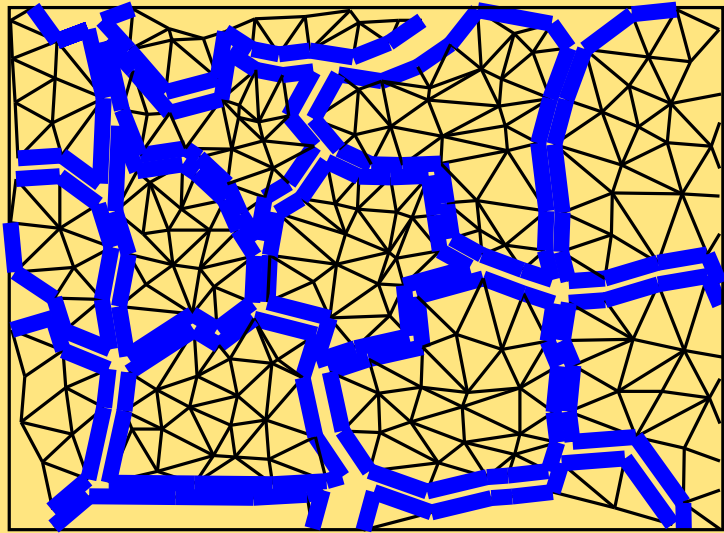
Notre schéma de représentation

Coût des graphes G et F



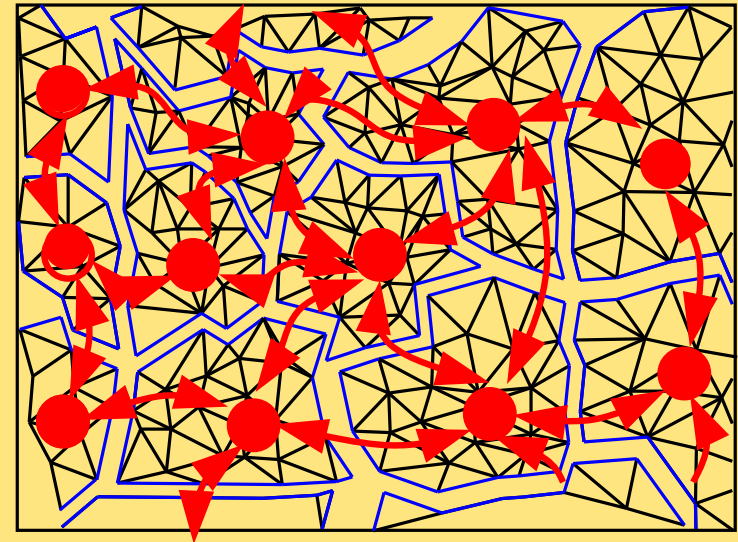
$O\left(\frac{m}{\log m}\right)$ micro régions

Notre schéma de représentation



$O\left(\frac{m}{\log m}\right)$ micro régions

graphe G



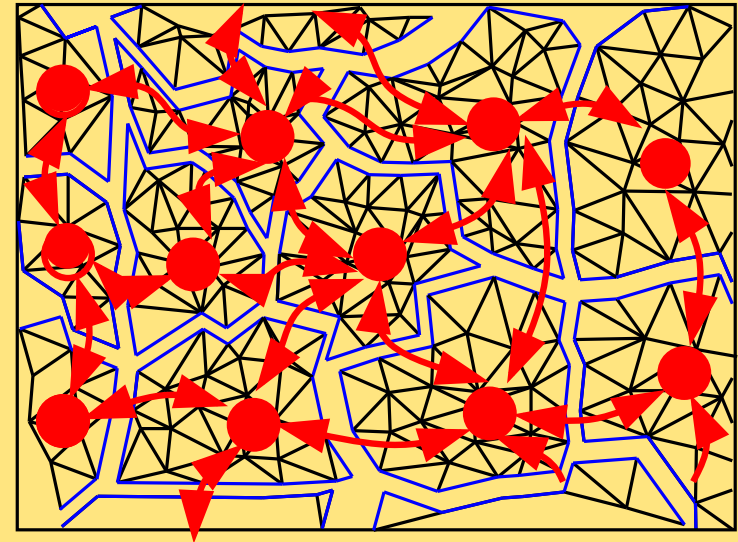
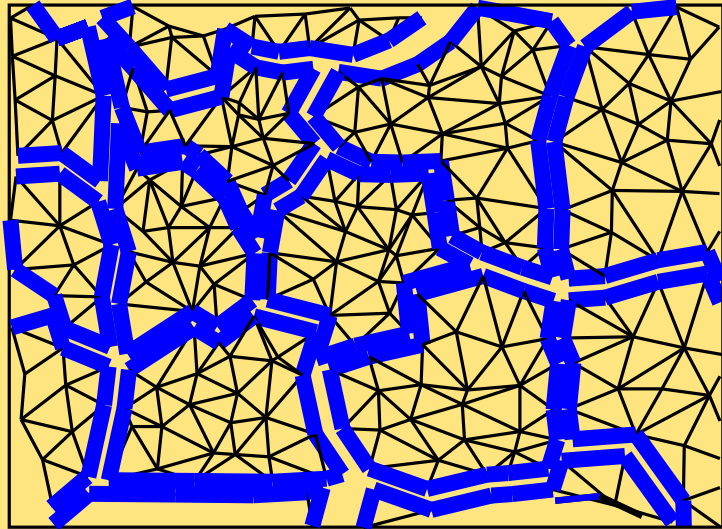
$O\left(\frac{m}{\log m}\right)$ nœuds

G est localement planaire et donc creux

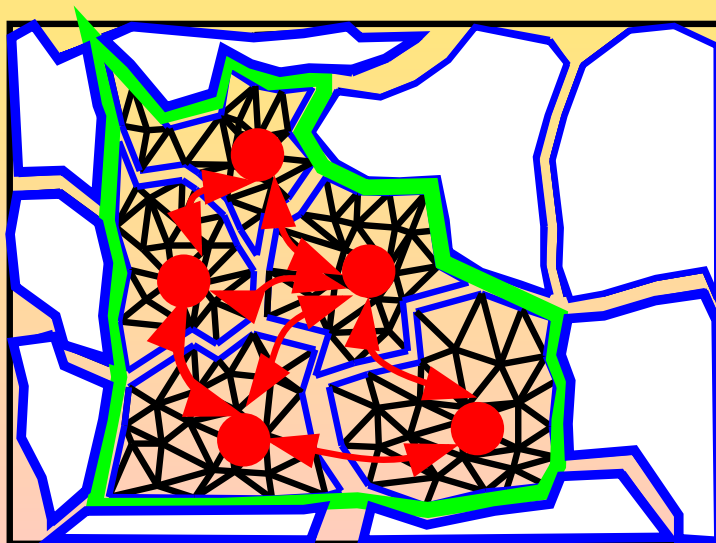
$$E(G) = O\left(\frac{m}{\lg m}\right)$$

Notre schéma de représentation

graphe G



graphe G_i $O(\log m)$ nœuds



$$\sum_i \|E(G_i)\| = O\left(\frac{m}{\lg m}\right)$$

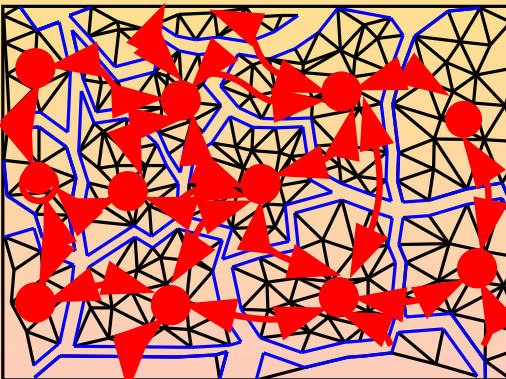
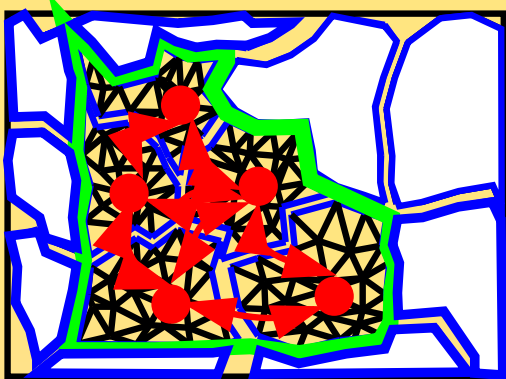
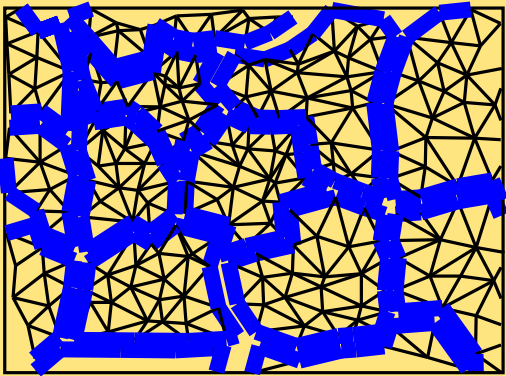
$$O\left(\frac{m}{\log m} \log \log m\right) \text{ bits}$$

On peut utiliser des pointeurs locaux de taille $\log \log m$ pour représenter de manière explicite les graphes G_i

Notre schéma de représentation

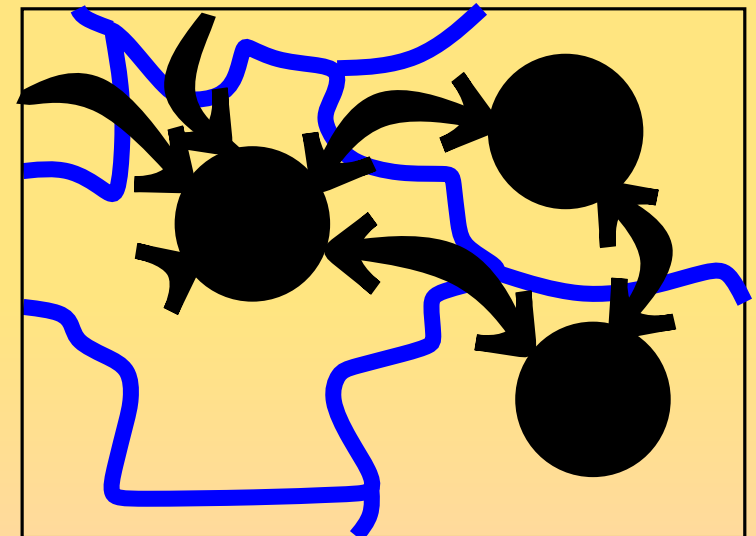
On peut utiliser des pointeurs de taille $\log m$

F est planaire et globalement creux



graphe F

$O\left(\frac{m}{\log^2 m}\right)$ arcs

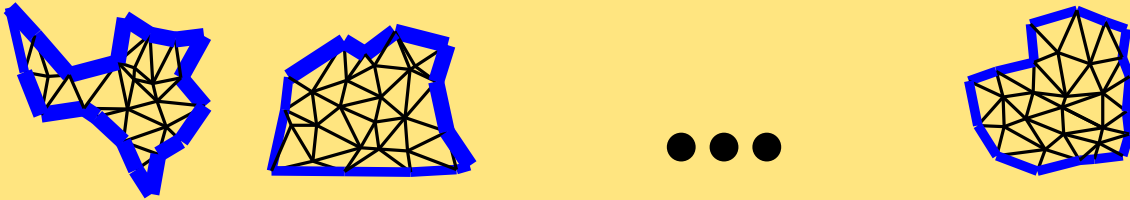


$O\left(\frac{m}{\log^2 m} \log m\right)$ bits

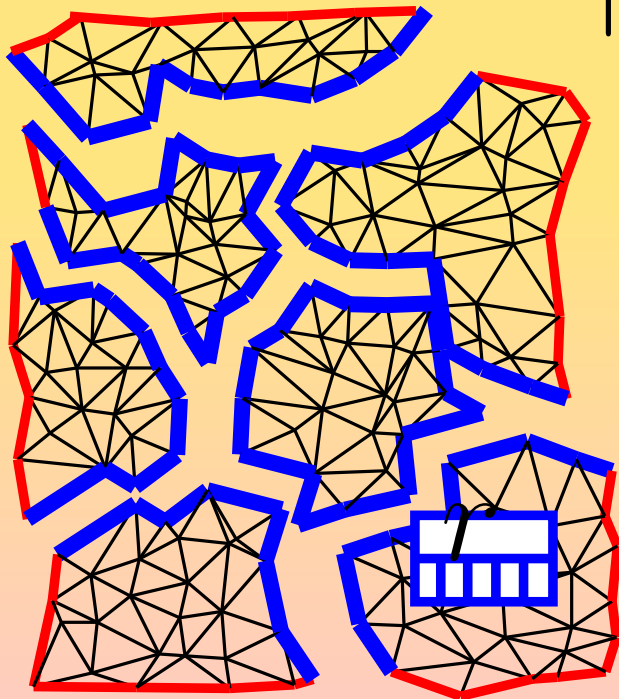
Représentations compactes de maillages

Coût du catalogue

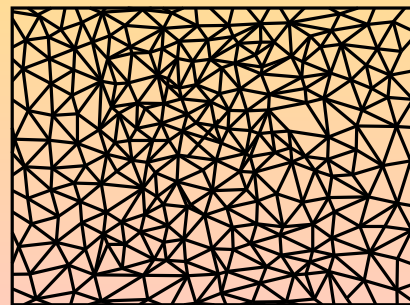
Catalogue exhaustif des micro régions



$$\|A\| \approx 2^{\frac{1}{4}} 2.175^r \leq 2^{\frac{1}{4}} 2.175 \lg m$$



Le catalogue exhaustif des micro régions ayant au plus r triangles a taille négligeable

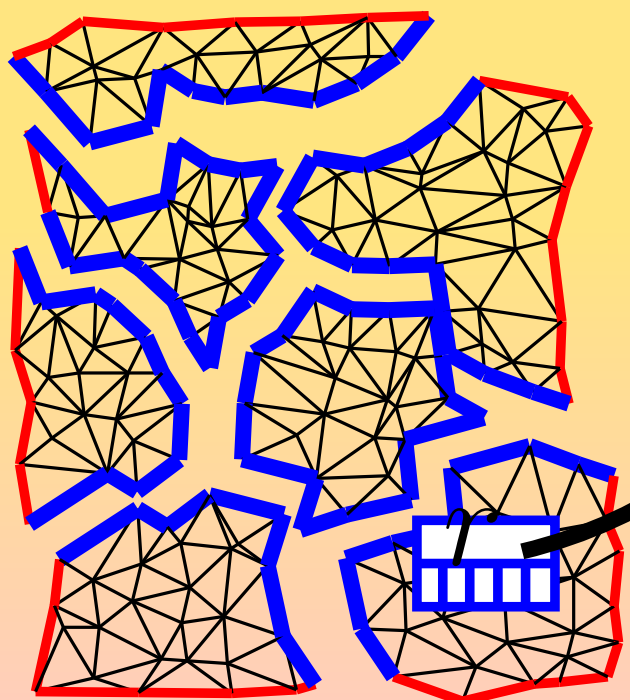
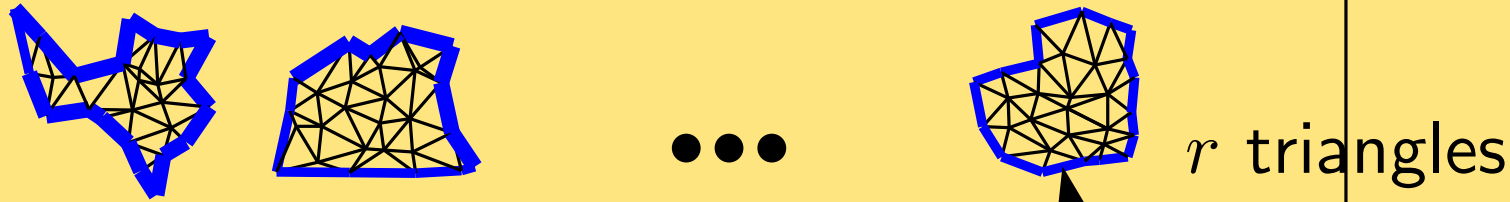


2.175 est l'entropie de la classe originale

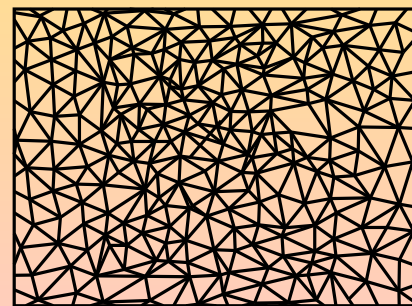
Représentations compactes de maillages

Coût des références vers le catalogue

Le coût d'un pointeur dépend de la taille du catalogue



$$\log_2 \|A\| = 2.175r \text{ bits}$$

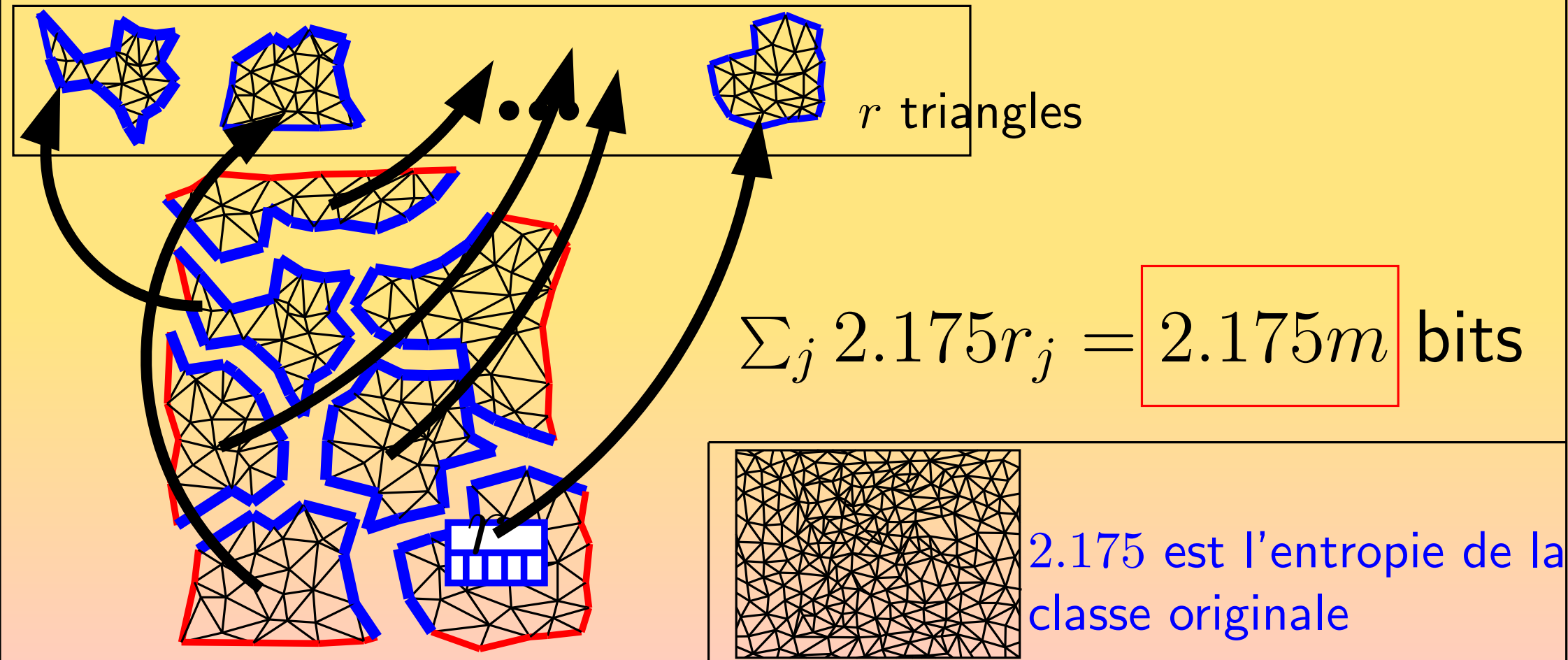


2.175 est l'entropie de la classe originale

Représentations compactes de maillages

Terme dominant

La somme des pointeurs vers le catalogue exhaustif fournit le terme dominant



Représentations compactes de maillages

Théorème (Castelli Aleardi, Devillers et Schaeffer, WADS05)

Pour des triangulations planaires à m triangles il existe une représentation succincte permettant le test d'adjacence en temps $O(1)$ nécessitant

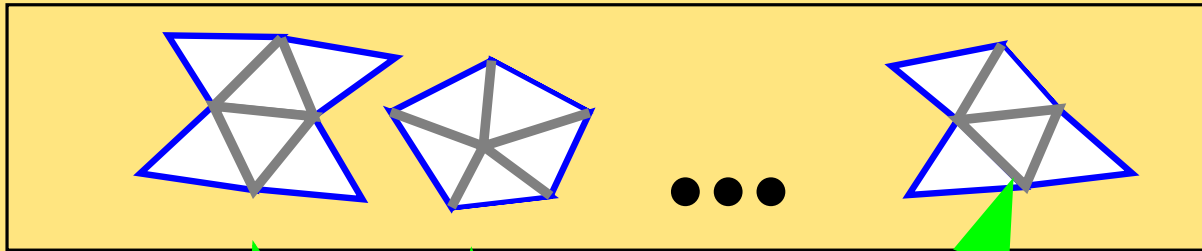
$$2.175m + O\left(m \frac{\lg \lg m}{\lg m}\right) = 2.175m + o(m) \text{ bits}$$

En genre supérieur g on a

$$2.175m + 36(g - 1) \lg m + O\left(m \frac{\lg \lg m}{\lg m} + g \lg \lg m\right) \text{ bits}$$

Représentations compactes de maillages

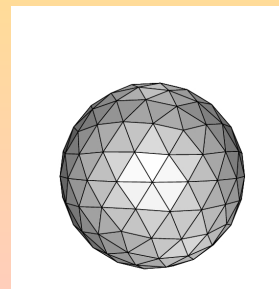
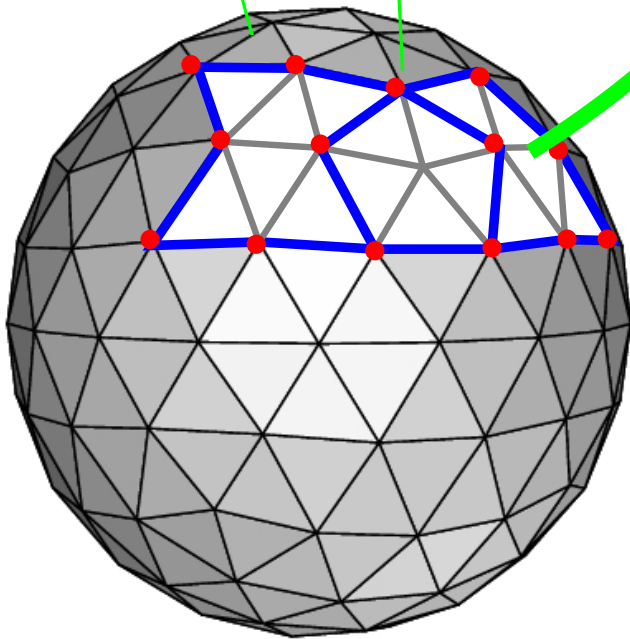
Aucune hypothèse sur la complexité du bord



$$\|A\| \approx 2^{\frac{1}{4}} 2.175r$$

$$\log_2 \|A\| = 2.175r \text{ bits}$$

$$\sum_j 2.175r_j = 2.175m \text{ bits}$$

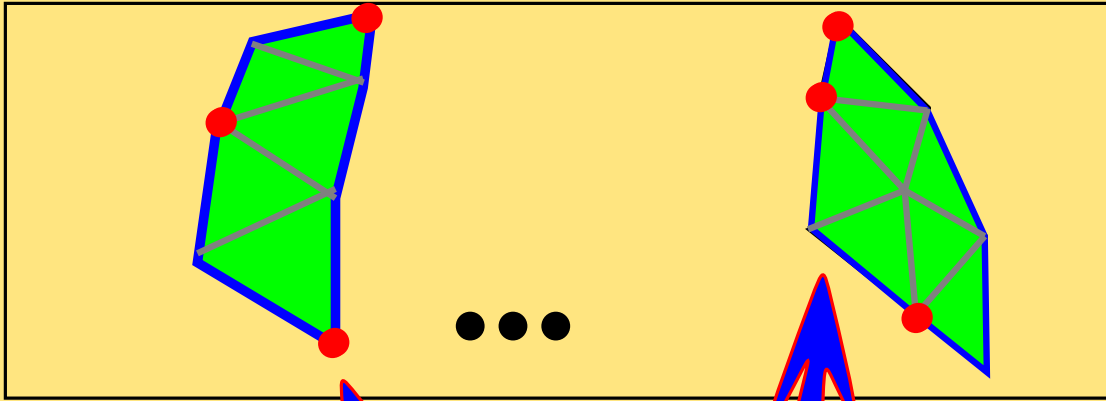


$1.62m$ est l'entropie de la classe originale

Peut-on atteindre l'optimalité?

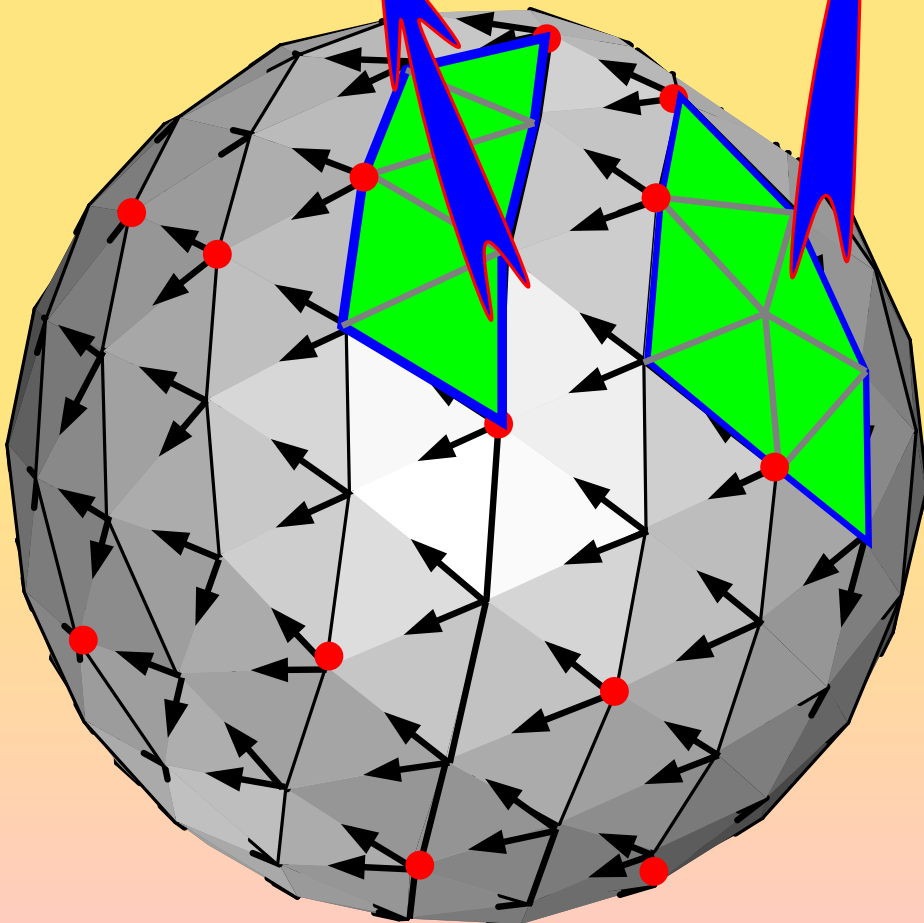
Représentations succinctes

Une décomposition plus astucieuse

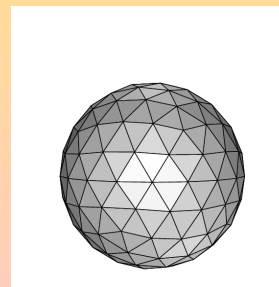


$$\|A\| = ?$$

Un catalogue plus petit



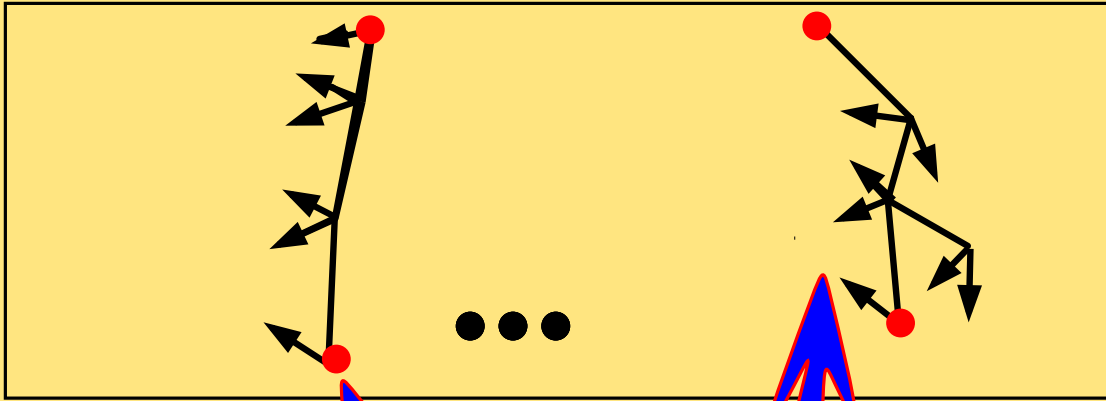
$$\log_2 \|A\| = ? \text{ bits}$$



$1.62m$ est l'entropie de la classe originale

Représentations succinctes

Une décomposition plus astucieuse ... à base d'arbres couvrants

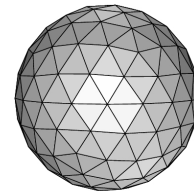
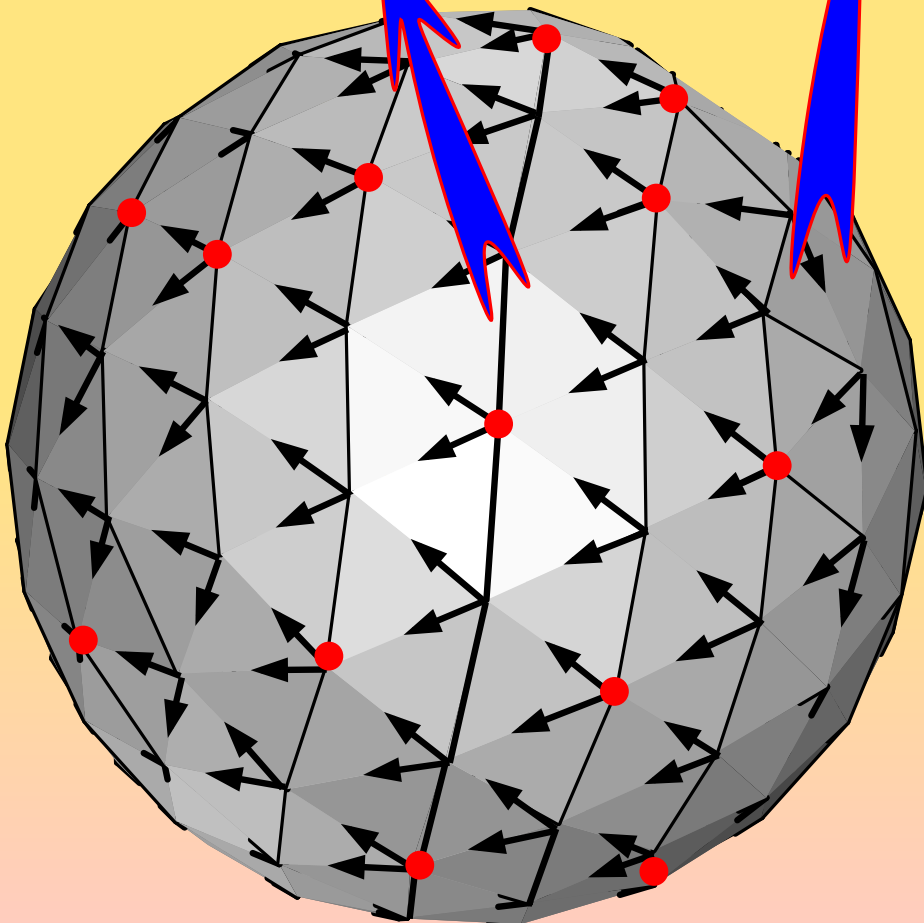


$$\|A\| \ll 2^{2.175r}$$

Un catalogue plus petit

on décompose en micro arbres

on compte en terme de sommets



$1.62m$ est l'entropie de la classe originale

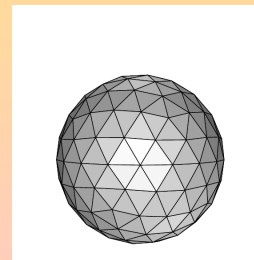
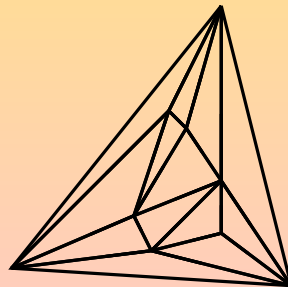
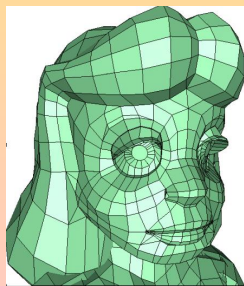
Triangulations et cartes planaires succinctes

(Castelli Aleardi, Devillers et Schaeffer, SoCG06)

Théorème

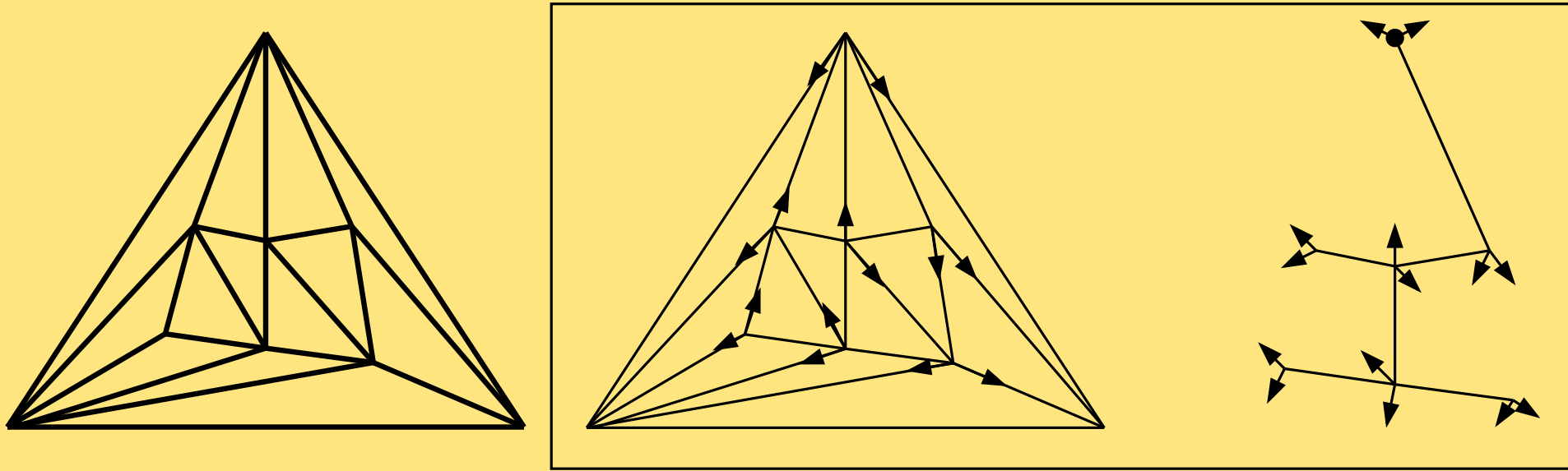
Pour certaines classes de cartes planaires (triangulations et graphes 3-connexes) il existe une représentation succincte optimale, permettant la navigation en temps $O(1)$. Le coût correspond asymptotiquement à l'entropie:

- $1.62m$ bits, pour les triangulations de la sphère de taille m ;
- $2e$ bits, pour les graphes 3-connexes à e arêtes.

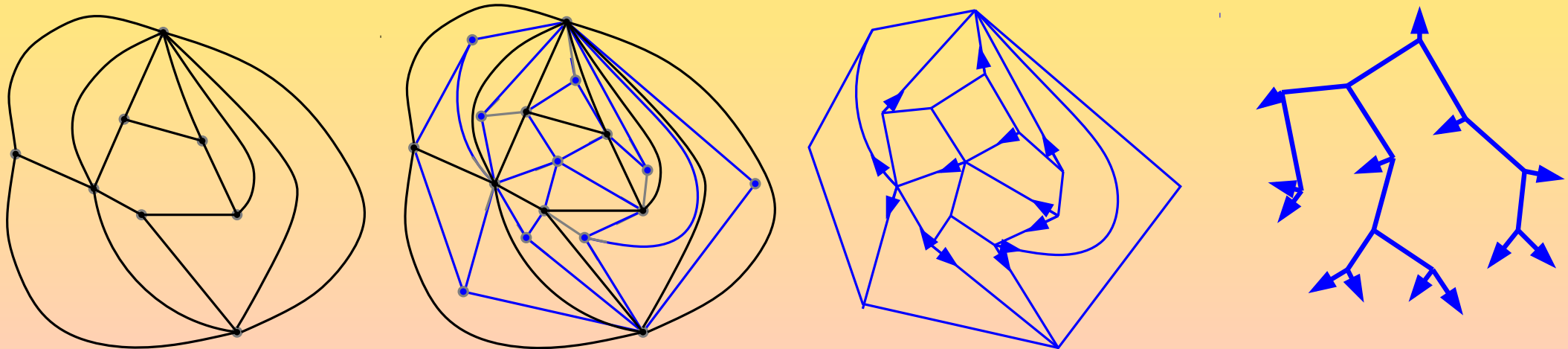


Cartes planaires et arbres bourgeonnants

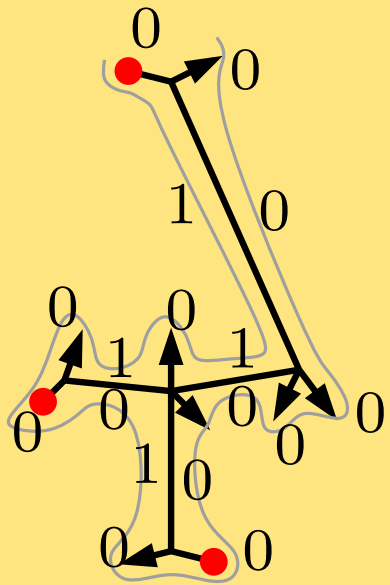
(triangulation planaires, Poulalhon et Schaeffer 2003)



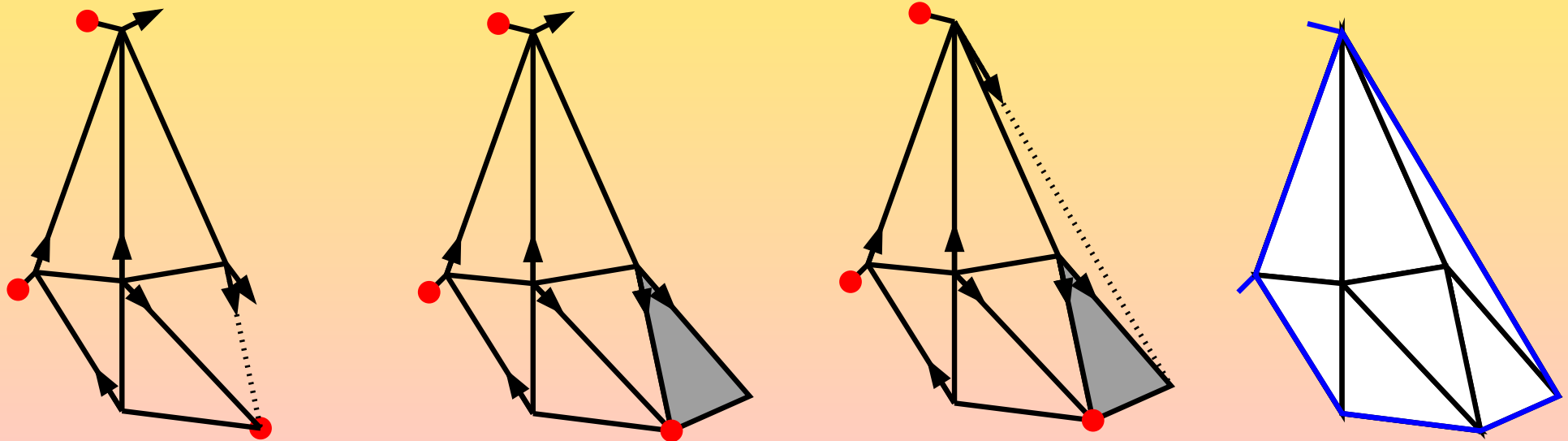
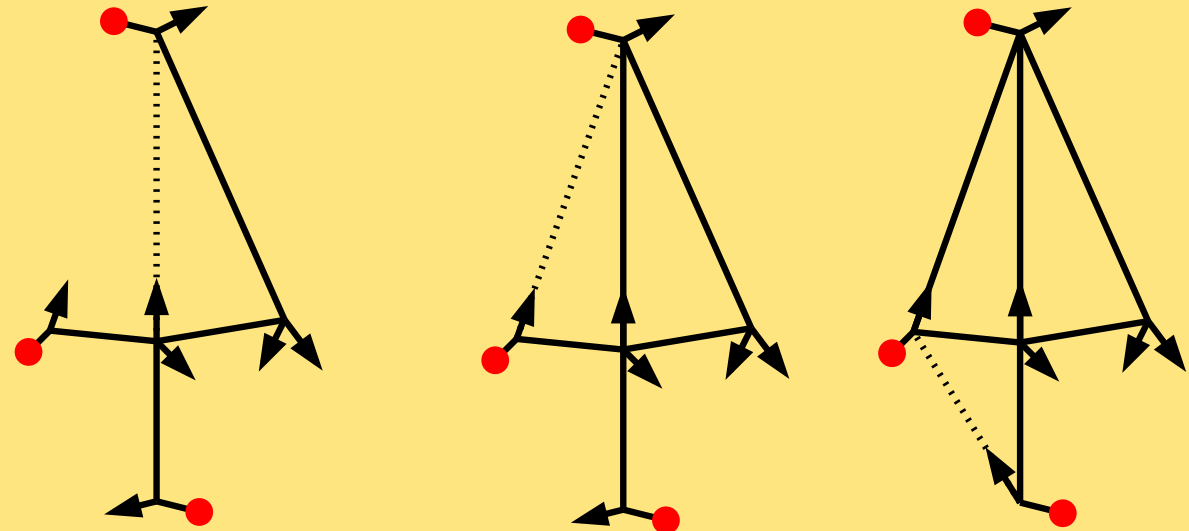
(cartes planaires 3-connexes, Fusy Poulalhon et Schaeffer 2005)



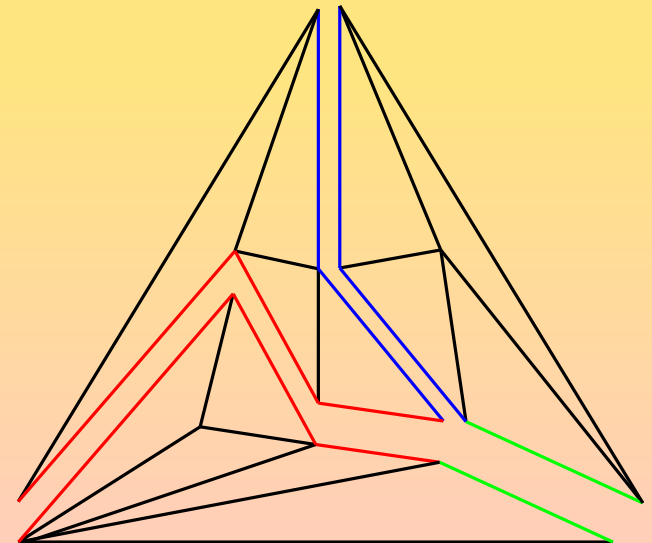
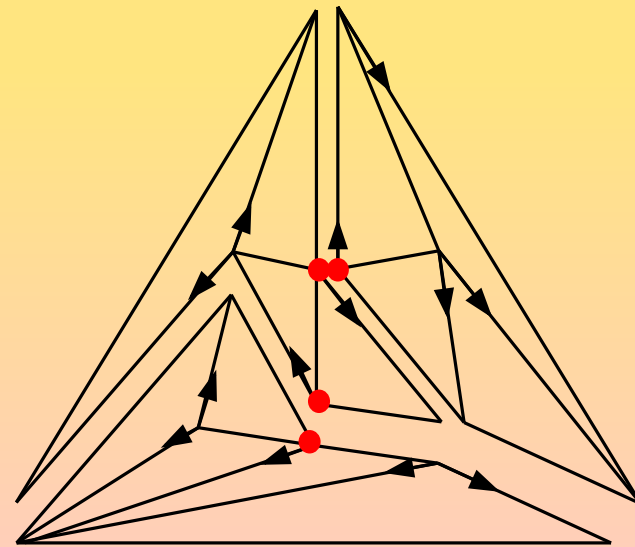
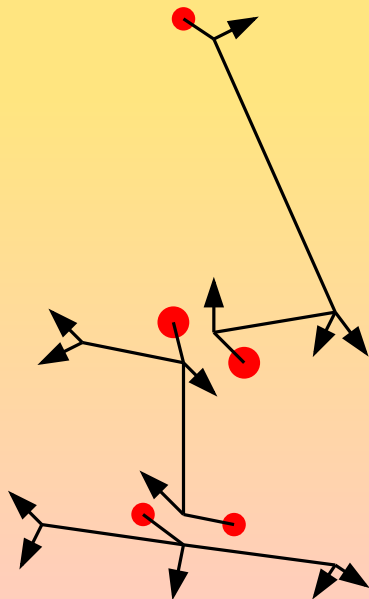
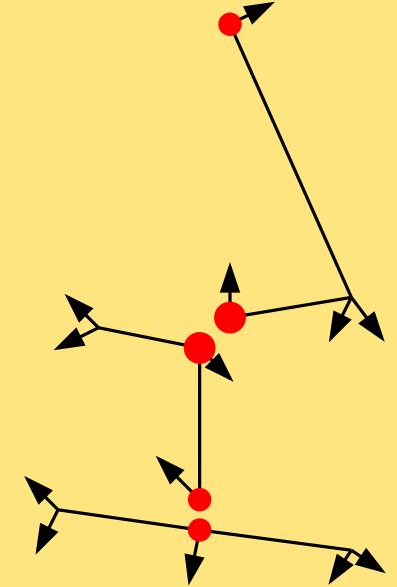
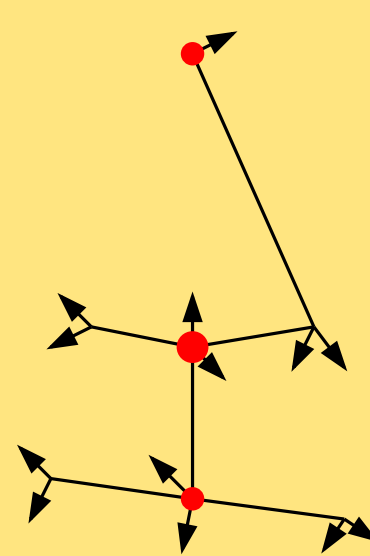
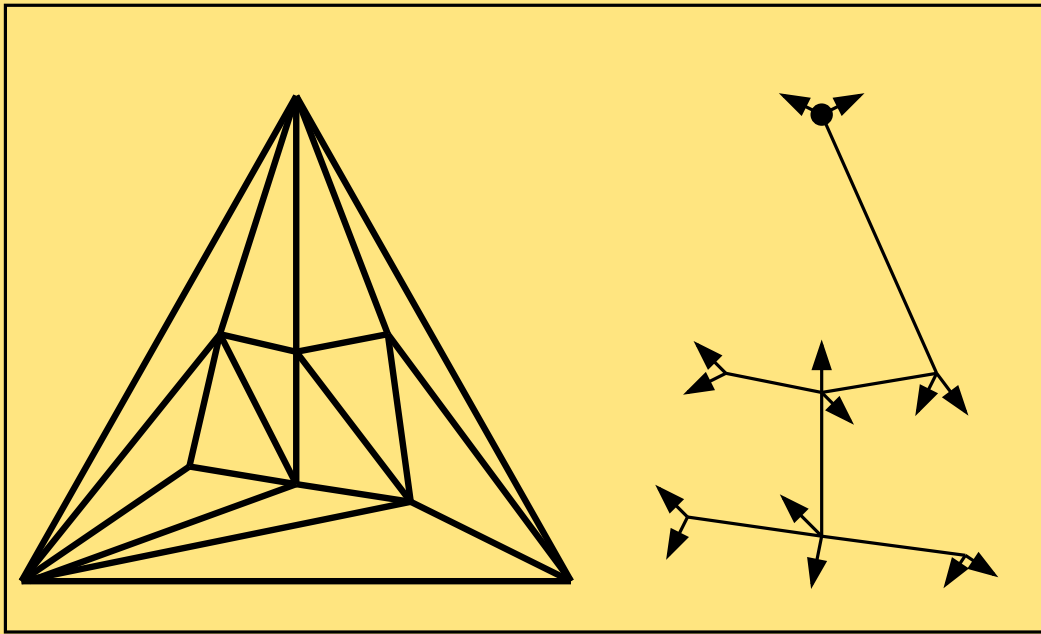
Une nouvelle opération de clôture locale



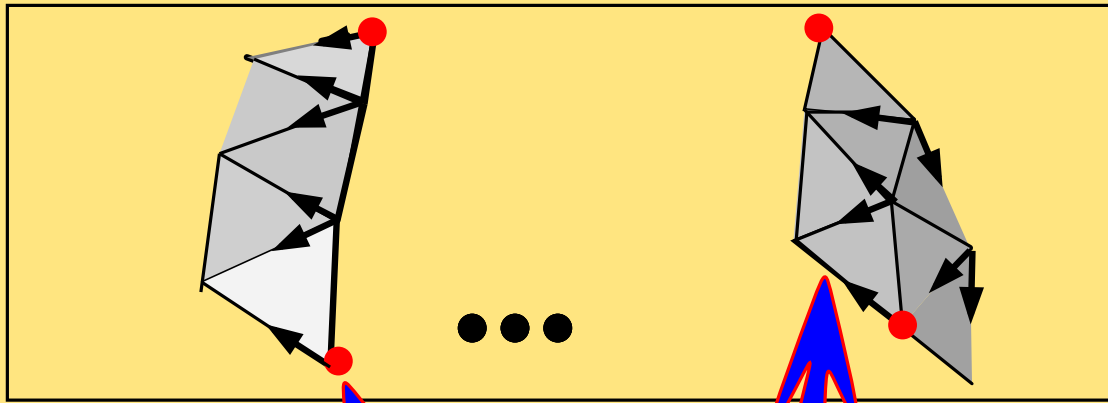
11010001000000000000
 1001010000



Une meilleure stratégie de décomposition



Coût en mémoire: terme dominant

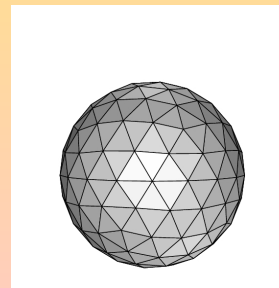
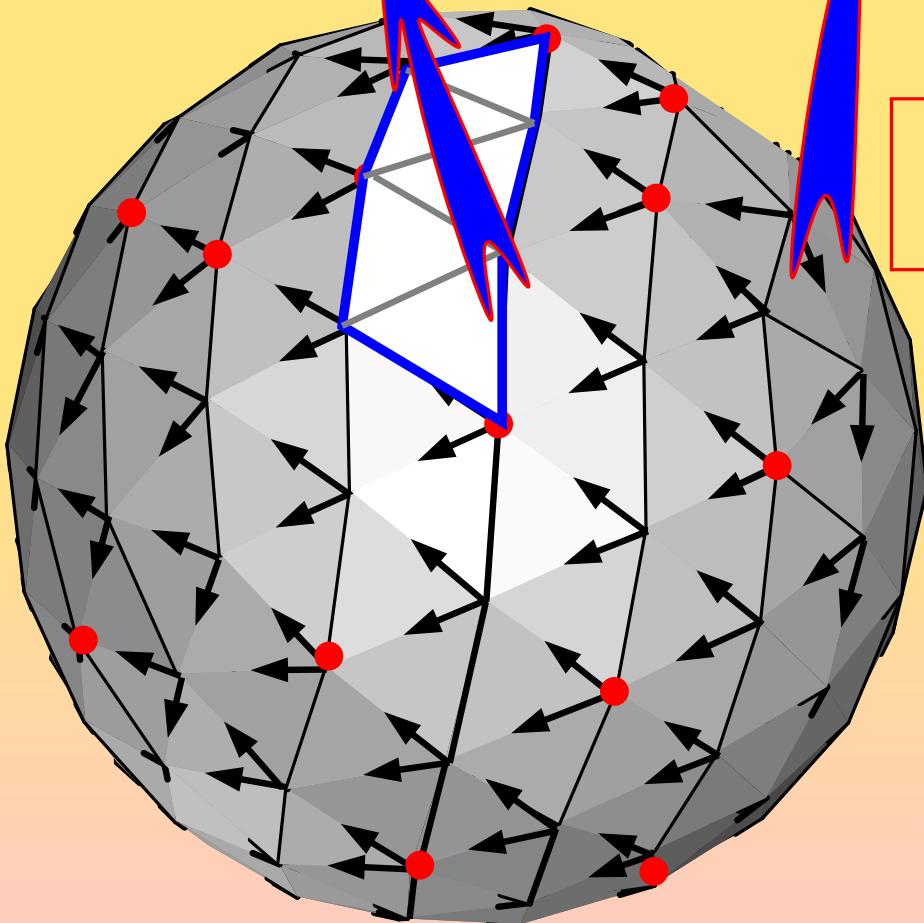


$$\|A_r\| = \|\sum_w A_{r,w}\|$$

$$\|A_{r,w}\| = 2^{3.24r} \cdot \binom{2r}{w}$$

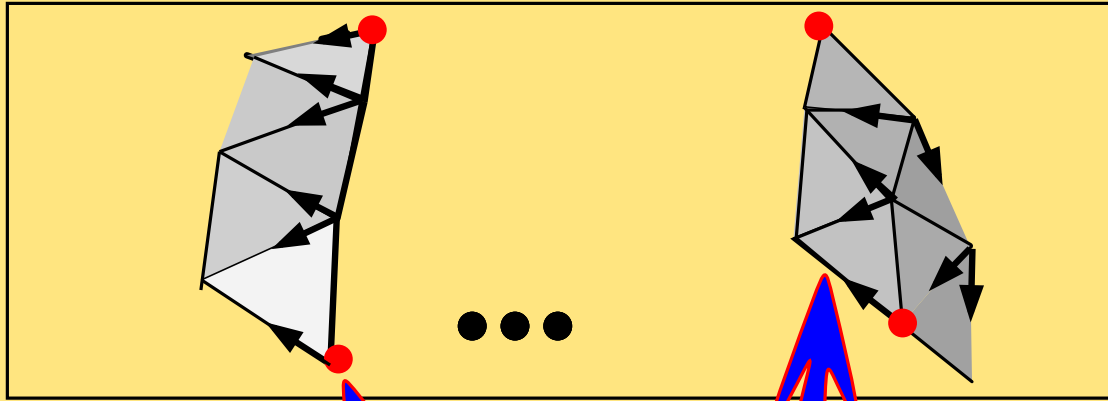
$$3.24r + w \lg r \text{ bits}$$

coût d'une référence



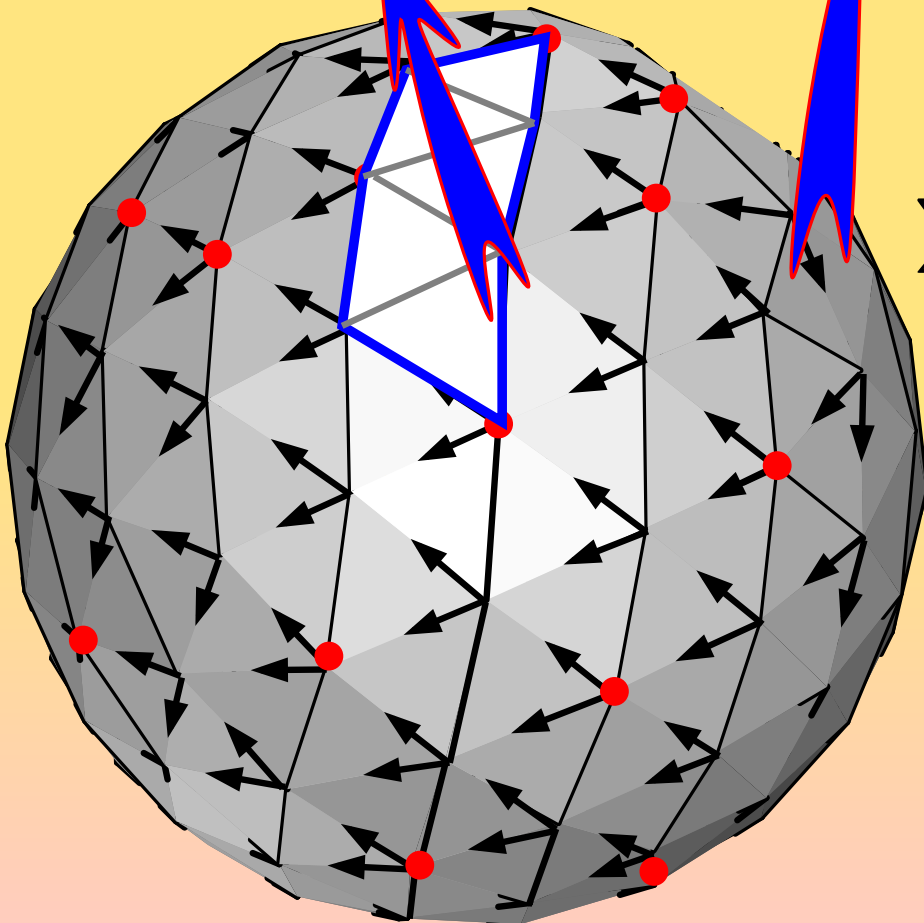
$3.24n$ ou $1.62m$
est l'entropie de la
classe originale

Coût en mémoire: terme dominant



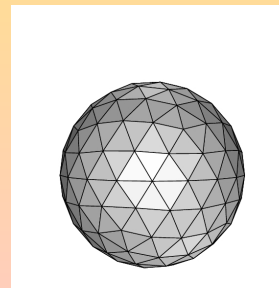
$$\sum_i r_i \approx n$$

$$\sum_i w_i = O\left(\frac{n}{\lg n}\right)$$



$$\sum_j 3.24r_j + w_i \lg r_i = 3.24n + o(n) \text{ bits}$$

coût de la somme des pointeurs



$3.24n$ ou $1.62m$
est l'entropie de la
classe originale

Représentations compactes de maillages

Comparaison des résultats

Codage	requêtes	3-connexe	triangulé
Jacobson (Focs89)	$O(\lg n)$	$64n$	$64n$
Munro Raman (Focs97)	$O(1)$	$8n + 2e$	$7m$
Chuang et al. (Icalp98)	$O(1)$	$2e + 2n$	$3.5m$
Chiang et al. (Soda01)	$O(1)$	$2e + 2n$	$4m$
Blandford et al. (Soda03)	$O(1)$	$O(n)$	$O(m)$
Castelli et al. (Wads05 Cccg05)	$O(1)$	no	$2.175m$
Castelli et al. (SoCG06)	$O(1)$	$2e$	$1.62m$

Une structure dynamique

Triangulations compactes dynamiques

théorème (Castelli Aleardi, Devillers et Schaeffer, CCCG05)

Pour des triangulations ayant m faces, il est possible de maintenir une représentation succincte, après insertion/suppression de sommets et flip arêtes, en gardant un temps $O(1)$ pour la navigation. La taille de la représentation est de

$$2.175m + o(m) \text{ bits}$$

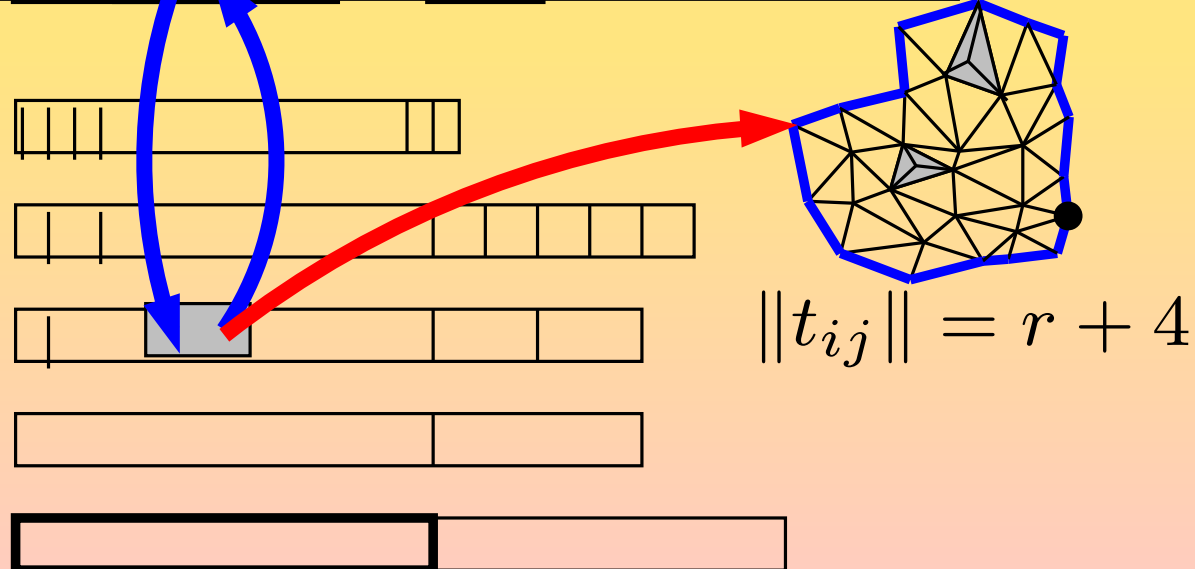
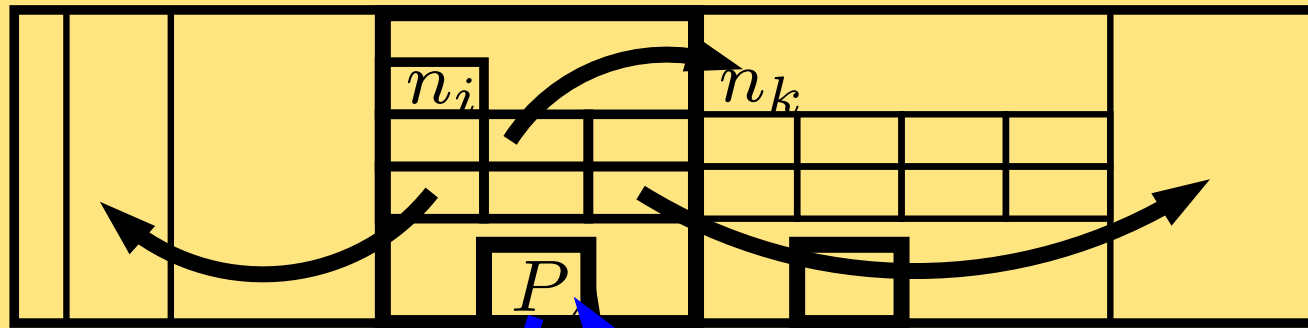
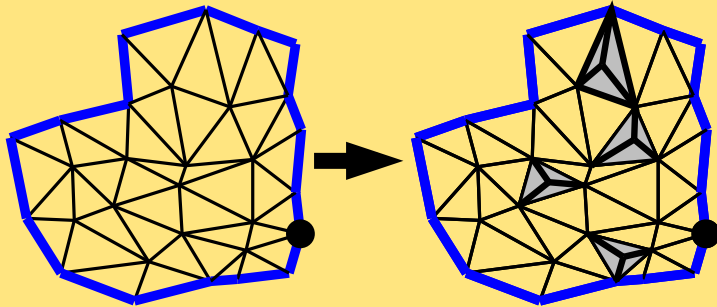
Le coût d'une mise à jour est:

- temps $O(1)$ amorti pour l'insertion de sommet;
- temps $O(\lg^2 m)$ amorti pour la suppression de sommet et flip d'arête;



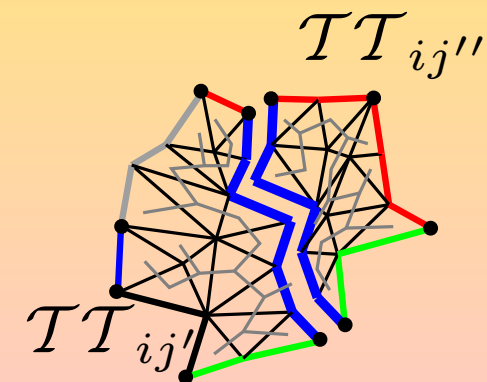
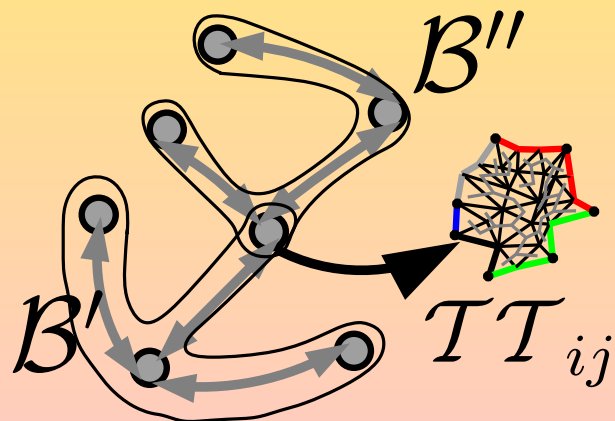
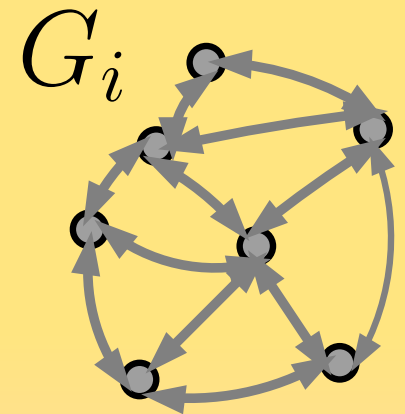
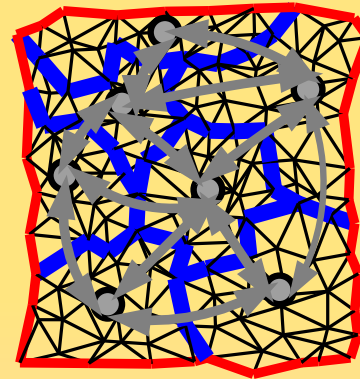
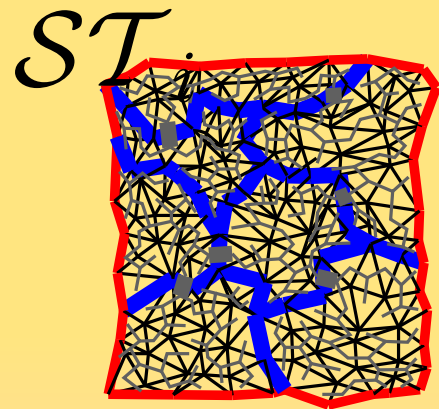
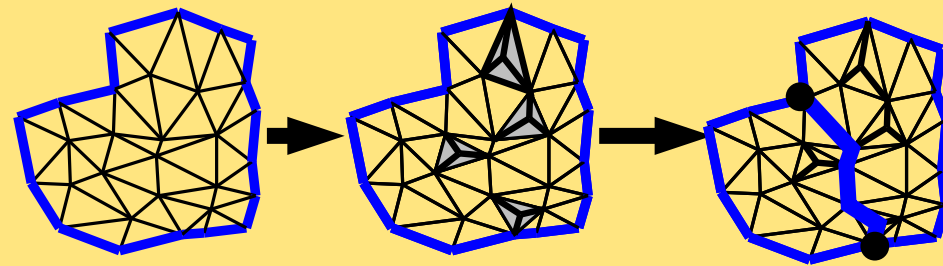
Triangulations compactes dynamiques

- meilleure organisation de la mémoire (Tableaux dynamiques)



Triangulations compactes dynamiques

- stratégies de décomposition astucieuses

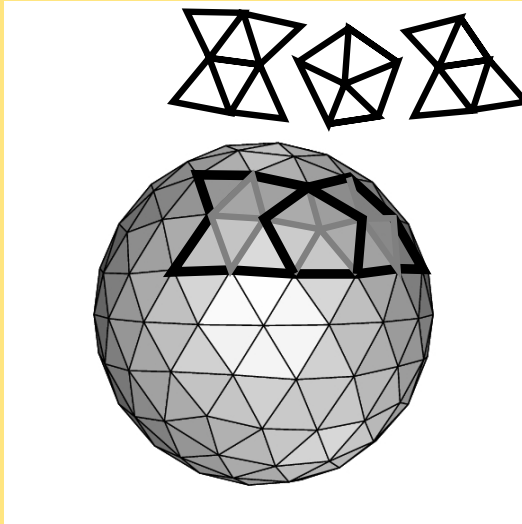


Et dans la pratique?

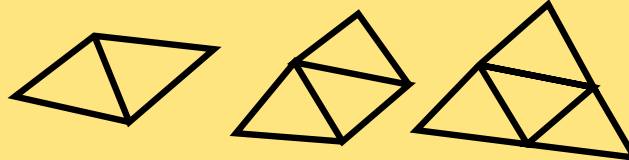
$$2.175m + 36(g - 1) \lg m + O\left(m \frac{\lg \lg m}{\lg m} + g \lg \lg m\right) \text{ bits}$$

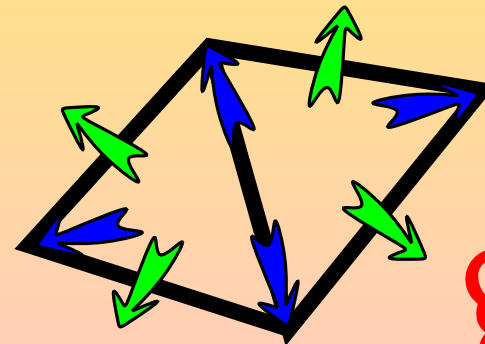
Une version pratique implantable

(en collaboration avec Abdelkrim Mebarki, CCCG06)



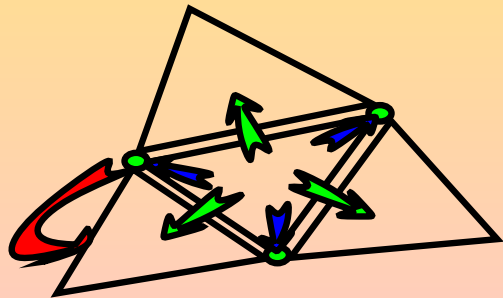
~~$\frac{1}{12} \log m$ to $\frac{1}{4} \log m$~~

Catalogue 
8 références par quad



gain 9/13

Structure usuelle
6 références par triangle
1 référence par sommet

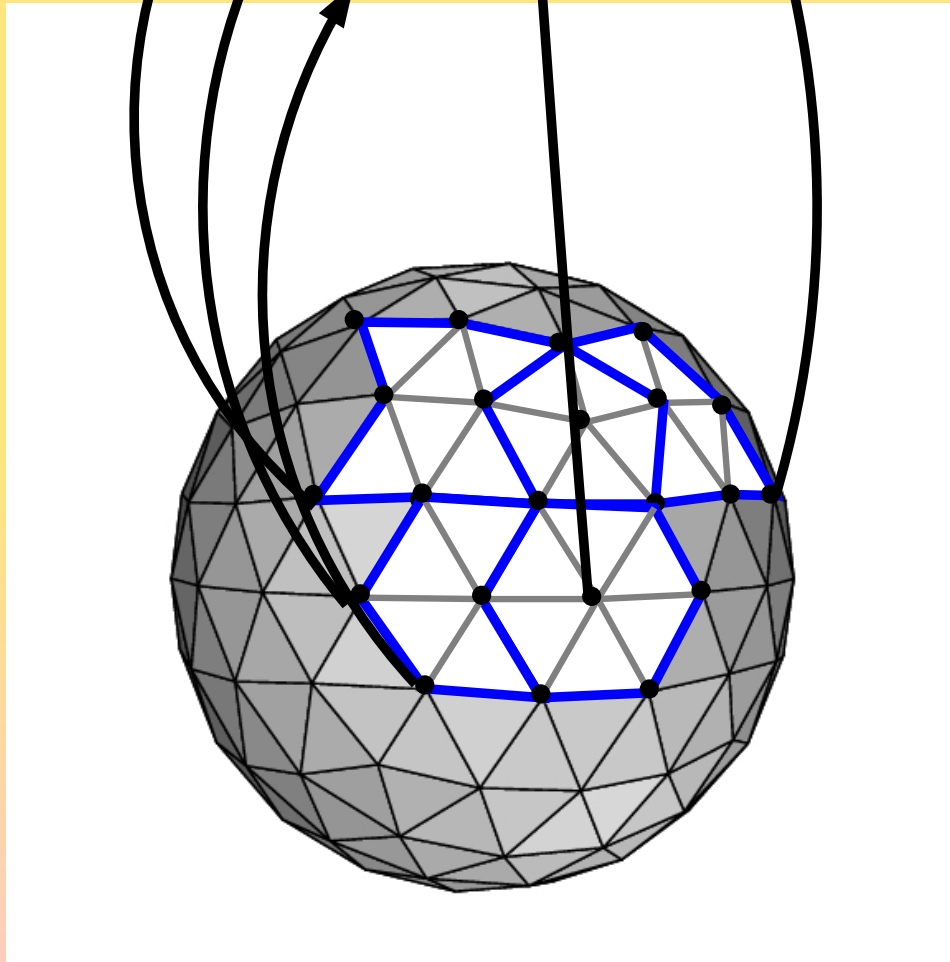


Et la géométrie?

Données géométriques

trop de références multiples

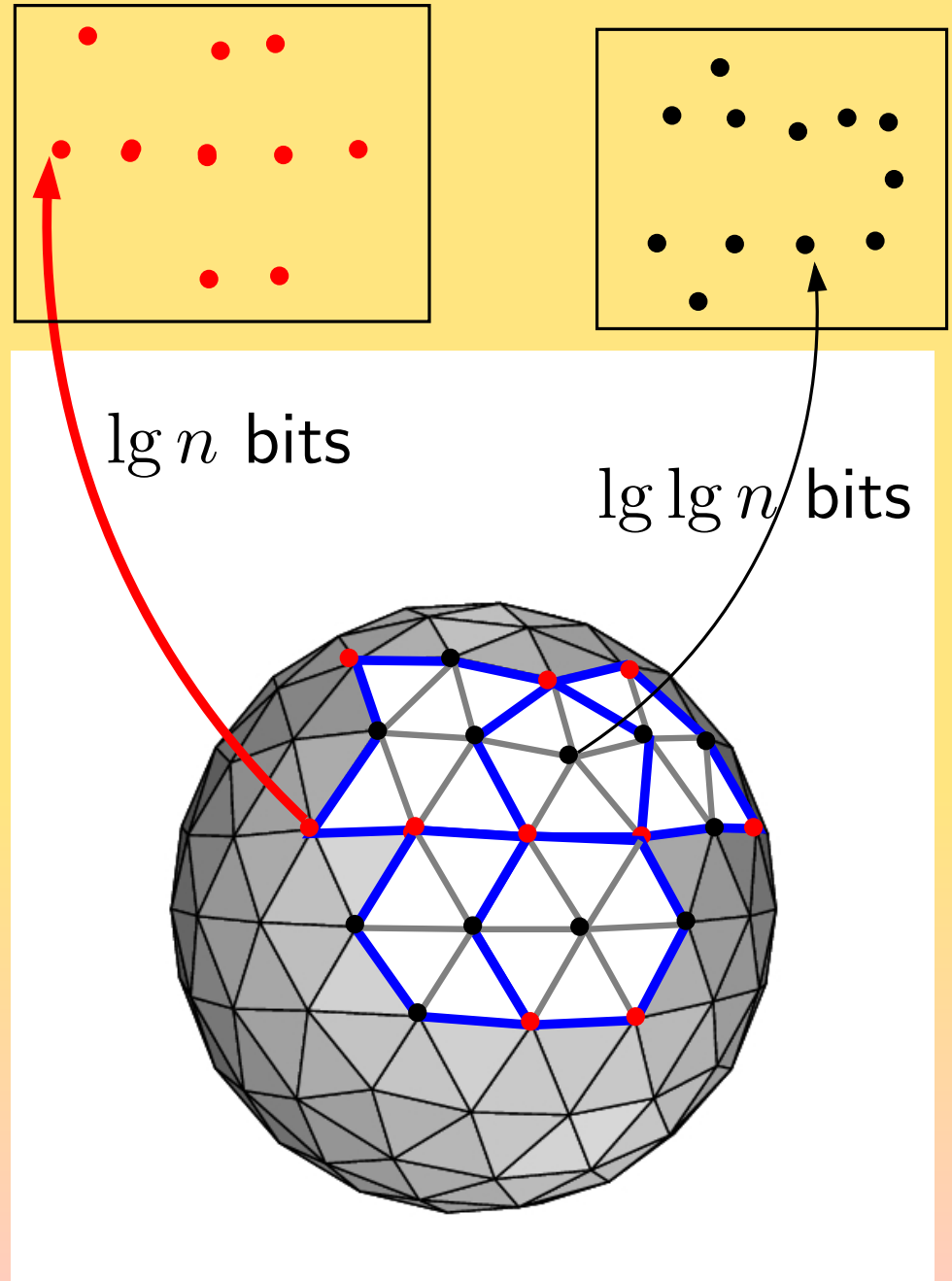
$\lg n$ bits



sommets multiples

$\lg n$ bits

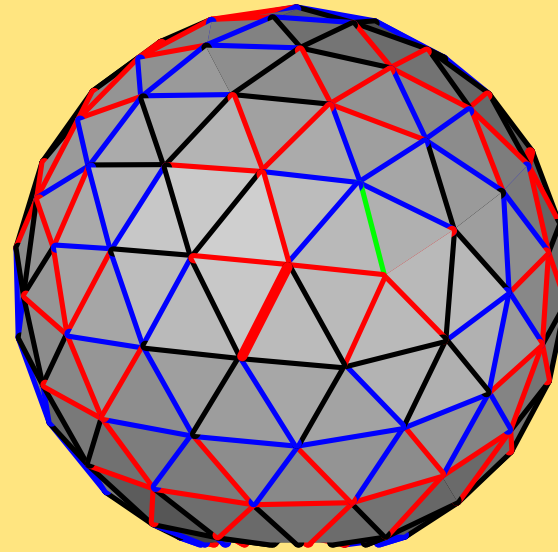
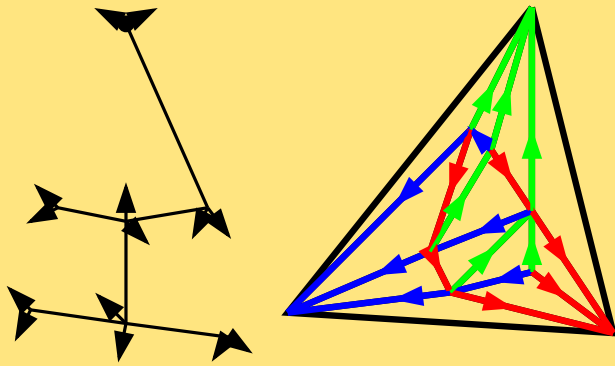
$\lg \lg n$ bits



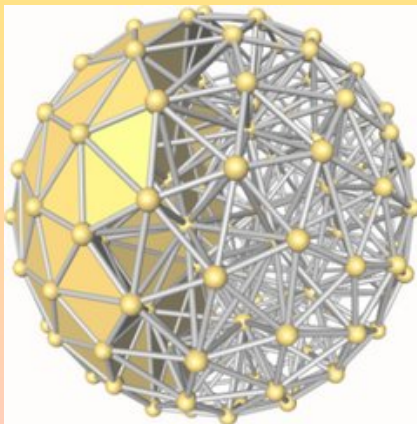
Perspectives futures

Perspectives futures

- Extensions en genre supérieur



- Maillages tetrahédriques



Codage de la géométrie

- Repères géométriques locaux